



## รายงานผลการวิจัย

เรื่อง กําลูโคสออกซิเดส-คาร์บอนนาโนทิวบ์คอมโพสิตเซนเซอร์สำหรับตรวจวัดกําลูโคสในผลิตภัณฑ์น้ำผึ้ง

Glucose Oxidase-CNT Composite for Glucose Determination in Honey  
Products

ได้รับการจัดสรรงบประมาณวิจัย ประจำปี 2553

จำนวน 280,000 บาท

หัวหน้าโครงการ  
ผู้ร่วมโครงการวิจัย

นายชานินทร์ แตงกวารัมย์

## กิตติกรรมประกาศ

ผู้วิจัยขอขอบคุณสาขาวิชาเคมี คณะวิทยาศาสตร์ มหาวิทยาลัยแม่โจ้ที่ให้ความอนุเคราะห์ เครื่องมือสารเคมี อุปกรณ์ และสถานที่ในการดำเนินการวิจัยงานวิจัยนี้สำเร็จ

ขอขอบคุณคุณจิรากรน์ กิติกุล ที่ให้ความช่วยเหลือในการผลิตข้าไฟฟ้าพิมพ์สกรีน ของขอบคุณ สำนักวิจัยและส่งเสริมวิชาการการเกษตร มหาวิทยาลัยแม่โจ้ ที่สนับสนุนงานวิจัยนี้จนสำเร็จเสร็จ สิ้นโครงการ

ท้ายที่สุดนี้ขอขอบพระคุณบิดามารดา น้องสาว และครอบครัวที่ให้ความช่วยเหลือสนับสนุน แนะนำ และเป็นกำลังใจในงานวิจัยสำเร็จลุล่วงไปด้วยดี

ธนานิทร์ แตงกวารัมย์

หัวหน้าโครงการวิจัย

## สารบัญ

	หน้า
สารบัญตาราง	๑
สารบัญรูป	๒
บทคัดย่อ	๓
Abstract	๑
คำนำ	๓
วัตถุประสงค์ของการวิจัย	๓
ประโยชน์ที่คาดว่าจะได้รับ	๔
การตรวจเอกสาร	๖
อุปกรณ์และวิธีการ	๑๗
ผลการวิจัยและวิจารณ์ผลการวิจัย	๒๒
สรุปผลการวิจัย	๓๙
เอกสารอ้างอิง	๔๐

## สารบัญตาราง

	หน้า
ตารางที่ 1 ประวัติศาสตร์ที่คาดว่าจะได้รับและดัชนีวัดความสำเร็จ	4
ตารางที่ 2 องค์ประกอบพื้นฐานของน้ำผึ้ง	8
ตารางที่ 3 เปรียบเทียบคุณลักษณะของใบโอเชนเซอร์ที่ได้จากการปรับปรุง ข้าไฟฟ้าโดยใช้วัสดุที่แตกต่างกัน	15
ตารางที่ 4 สารเคมี	17
ตารางที่ 5 เครื่องมือและอุปกรณ์ที่ใช้ในการวิจัย	18
ตารางที่ 6 ตัวอย่างน้ำผึ้งยี่ห้อต่างๆ และความเข้มข้นที่ตรวจพบโดยใช้กลูโคส ใบโอเชนเซอร์ที่พัฒนาขึ้น	38

สารบัญ

รูปที่ 1 น้ำผึ้ง (Wikipedia, 2012)	6
รูปที่ 2 โครงสร้างแบบ Fischer ของน้ำตาลกลูโคส	9
รูปที่ 3 แผ่นกราฟีน (grapheme sheet), B. ชิลเกิลวอลล์คาร์บอนนาโนทิวบ์ (single-walled carbon nanotube) และ C. มัลติวอลล์คาร์บอนนาโนทิวบ์ (multi-walled carbon nanotube)	11
รูปที่ 4 ไดอะแกรมของไนโตรเจนเซอร์ชั่งประกอบไปด้วย (1) ส่วนของเรซเปเตอร์ที่เป็นสารชีวโมโนเกลุต และ (2) ทรานส์คิวเซอร์ที่ทำหน้าที่ส่งผ่านสัญญาณ ให้แก่ส่วนของการประมวลผล	12
รูปที่ 5 ไดอะแกรมของปฏิกิริยาที่เกิดบนผิวน้ำข้าวไฟฟ้า ถูกศร $\rightleftharpoons$ นอกทิศทางของการเคลื่อนเข้าสู่ผิวน้ำข้าวไฟฟ้าของตัวออกซิไดซิง ( <i>ox</i> ) และถูกศร $\Rightarrow$ นอกทิศทางการเคลื่อนที่ออกจากผิวน้ำข้าวไฟฟ้าของดิวรีดิวซิง ( <i>red</i> ) ส่วนสัญลักษณ์ $\delta$ คือความหนาของชั้นของการแพร	13
รูปที่ 6 กลไกการทำงานของกลูโคสไนโตรเจนโดยอาศัยเอนไซม์กลูโคสออกซิเดส (glucose oxidase : Gox) ตระบันผิวน้ำข้าวไฟฟ้าร่วมกับคาร์บอนนาโนทิวบ์ (carbon nanotube : CNT) และอนุภาคนาโน (nanoparticles : NPs) กลูโคสออกซิเตสทำปฏิกิริยากับกลูโคสแล้วได้กลูโคโนแลคตอนและไอโอดอเจนเปอร์ออกไซด์ ซึ่งไอโอดอเจนเปอร์ออกไซด์จะถูกออกไซಡส์ที่ผิวน้ำข้าวไฟฟ้า	14
รูปที่ 7 ขั้นตอนการสร้างข้าวไฟฟ้าพิมพ์สกรีน	19
รูปที่ 8 การจัดเซลล์สำหรับการทดลองด้วยเทคนิคโวลาแมมเมทรี	19
รูปที่ 9 การออกแบบข้าวไฟฟ้าพิมพ์สกรีนแบบสี่เหลี่ยม	22
รูปที่ 10 ไซคลิกโวลาแมมโมแกรมของข้าวไฟฟ้าพิมพ์สกรีน โดยทดลองในสารละลายน้ำโพแทสเซียมเยกซ์ไซยาโนเฟอเรตที่ความเข้มข้น ก) 0.0 ข) 10.0 ค) 20.0 และ ง) 30.0 มิลลิโมลาร์ โดยมีสารละลายน้ำโพแทสเซียมคลอไรด์เพิ่มขึ้น 0.1 มิลลิลิตรเป็นสารละลายน้ำอิเล็กโทรไลต์ช่วย	22
รูปที่ 11 สารละลายน้ำทองนาโนให้ความร้อนเป็นเวลา 2 นาทีในอัตราส่วนของทองคลอไรด์ : ไตรโซเดียมซิเตรตที่ (ก) 1:1 (ข) 1:5 (ค) 1:10 (ง) 1:15 และ (จ) 1:20	23

รูปที่ 12 ยูวีสเปกตรัมของทองนาโนที่สังเคราะห์ด้วยอัตราส่วนของทองคลอไรด์ : ไตรโซเดียมซิเตറดที่ 1:1, 1:5, 1:10, 1:15 และ 1:20 โดยให้ความร้อนโดยเครื่องไมโครเวฟเป็นเวลา 2 นาที	24
รูปที่ 13 สารละลายน้ำที่สังเคราะห์ด้วยอัตราส่วนของทองคลอไรด์ : ไตรโซเดียมซิเตറดที่ (ก) 1:1 (ข) 1:5 (ค) 1:10 (ง) 1:15 และ (จ) 1:20	25
รูปที่ 14 ยูวีสเปกตรัมของทองนาโนที่สังเคราะห์ด้วยอัตราส่วนของทองคลอไรด์ : ไตรโซเดียมซิเตറดที่ 1:1, 1:5, 1:10, 1:15 และ 1:20 โดยให้ความร้อนโดยเครื่องไมโครเวฟเป็นเวลา 4 นาที	26
รูปที่ 15 สารละลายน้ำที่สังเคราะห์ด้วยอัตราส่วนของทองคลอไรด์ : ไตรโซเดียมซิเตറดที่ (ก) 1:1 (ข) 1:5 (ค) 1:10 (ง) 1:15 และ (จ) 1:20	26
รูปที่ 16 ยูวีสเปกตรัมของทองนาโนที่สังเคราะห์ด้วยอัตราส่วนของทองคลอไรด์ : ไตรโซเดียมซิเตറดที่ 1:1, 1:5, 1:10, 1:15 และ 1:20 โดยให้ความร้อนโดยเครื่องไมโครเวฟเป็นเวลา 6 นาที	27
รูปที่ 17 ยูวีสเปกตรัมของทองนาโนที่สังเคราะห์ด้วยอัตราส่วนของทองคลอไรด์ : ไตรโซเดียมซิเตറดที่ 1:1, 1:5, 1:10, 1:15 และ 1:20 โดยให้ความร้อนโดยเครื่องไมโครเวฟเป็นเวลา 8 นาที	28
รูปที่ 18 ยูวีสเปกตรัมของขนาดนาโนที่สังเคราะห์ด้วยอัตราส่วนของทองคลอไรด์ : ไตรโซเดียมซิเตറดเป็น 1:1, 1:5, 1:10, 1:15 และ 1:20 โดยให้ความร้อนโดยเครื่องไมโครเวฟเป็นเวลา 8 นาที	29
รูปที่ 19 กราฟความสัมพันธ์ระหว่างความสูงของพีคกับเวลาในการสังเคราะห์ทองขนาดนาโนโดยใช้ท้องคลอไรด์ : ไตรโซเดียมซิเตറดในอัตราส่วน 1:10	30
รูปที่ 20 อนุภาคนาโนทองคำจากกล้องจุลทรรศน์แบบส่องผ่าน ที่อัตราส่วนการสังเคราะห์ทองคลอไรด์ต่อไตรโซเดียมซิเตറด 1 : 10 โดย ทำที่สภาพภาวะการให้ความร้อน (ก) 2 นาที (ข) 4 นาที (ค) 6 นาที และ (ง) 10 นาที กล้องจุลทรรศน์แบบส่องผ่านใช้กำลังไฟฟ้า 75 kV และกำลังขยาย 200,000 เท่า	31
รูปที่ 21 กราฟความสัมพันธ์ระหว่างผลของสักยีไฟฟ้าที่ใช้ในการเกิดปฏิกิริยาของกลูโคส ใบโอลเซนเซอร์กับปริมาณกระแทไฟฟ้าที่เกิดขึ้น	32
รูปที่ 22 ความสัมพันธ์ระหว่างปริมาณเอนไซม์กลูโคสออกซิเดสกับปริมาณไฟฟ้าที่วัดได้ โดยใช้สภาพการทดลองเป็น 5 mM glucose, 0.1 M phosphate pH 7.4, สักยีไฟฟ้า -0.10 V	33

รูปที่ 23 ความสัมพันธ์ระหว่างเวลาที่ใช้ในการตリングฟิล์มปรัสรเชื่นบลูกับปริมาณไฟฟ้า

ที่วัดได้ โดยใช้สภาวะการทดลองเป็น 5 mM glucose, 0.1 M phosphate pH 7.4,

ศักย์ไฟฟ้า -0.10 V, ปริมาณของเอนไซม์กลูโคสออกซิเดส 0.09 มิลลิกรัม

34

รูปที่ 24 ความสัมพันธ์ระหว่างเวลาที่ใช้ในการตリングฟิล์มไคโตกาชานกับปริมาณไฟฟ้าที่

วัดได้ โดยใช้สภาวะการทดลองเป็น 5 mM glucose, 0.1 M phosphate pH 7.4,

ศักย์ไฟฟ้า -0.10 V, ปริมาณของเอนไซม์กลูโคสออกซิเดส 0.09 มิลลิกรัม เวลา

ของการตリングปรัสรเชื่นบลู 115 วินาที

35

รูปที่ 25 ความสัมพันธ์ระหว่างปริมาณของสารบอนนาโนทิวบ์กับกระแสไฟฟ้าที่ได้

โดยใช้สภาวะการทดลองเป็น 5 mM glucose, 0.1 M phosphate pH 7.4,

ศักย์ไฟฟ้า -0.10 V, ปริมาณของเอนไซม์กลูโคสออกซิเดส 0.09 มิลลิกรัม เวลา

36

ของการตリングปรัสรเชื่นบลู 115 วินาที เวลาของการตリングไคโตกาชาน 60 วินาที

รูปที่ 26 กราฟเทียบมาตรฐานระหว่างกระแสไฟฟ้ากับความเข้มข้นของกลูโคสโดยใช้

กลูโคสไบโอลเซนเซอร์ SPCE/CHIT-CNT/PB/AuNP/GOx โดยใช้สภาวะของ

เครื่องมือดังนี้  $E_{applied} = -0.05$  โวลท์, 0.1 ไมลาร์ phosphate buffer pH 7.4,

CNT = 0.009 มิลลิกรัม, เวลาของการตリングไคโตกาชาน 60 วินาที, เวลาของการ

ต ringingปรัสรเชื่นบลู 105 วินาที, และปริมาณของกลูโคสออกซิเดส 0.09 มิลลิกรัม

37

กลูโคสออกซิเดส-การ์บอนนาโนทิวบ์คอมโพสิตเชอร์สำหรับตรวจวัดกลูโคสใน  
ผลิตภัณฑ์น้ำผึ้ง

**Glucose Oxidase-CNT Composite for Glucose Determination in Honey Products**

ธนานินทร์ แตงกوارัมย์

Tanin Tangkuarm

คณะวิทยาศาสตร์ มหาวิทยาลัยแม่โจ้ จ.เชียงใหม่ 50290

บทคัดย่อ

กลูโคสไบโอดีเซนเซอร์โดยอาศัยสมบัติทางชีวภาพของเอนไซม์กลูโคสออกซิเดสและอาศัยสมบัติทางเคมีไฟฟ้าของปรัสเซียนบลูดิลกงบนการ์บอนนาโนทิวบ์และไครโตกานโดยมีอนุภาคนาโนทองคำเป็นส่วนช่วยตรึงติดบนขั้วไฟฟ้าพิมพ์สกรีน ไบโอดีเซนเซอร์ที่พัฒนาได้ถูกนำมาใช้ทดสอบเพื่อหาปริมาณกลูโคสในตัวอย่างน้ำผึ้ง โดยมีฟอสเฟต 0.1 มอลาร์ พีเอช 7.4 เป็นสารละลายน้ำอิเล็กโทรไลต์ช่วย โดยใช้เทคนิคโกรโนแอมเปอร์เมทรีในการทดสอบศักย์ไฟฟ้าที่ให้กับขั้วไฟฟ้าผลทดสอบพบว่าศักย์ไฟฟ้าที่ให้ที่เหมาะสมคือ -0.05 V ไบโอดีเซนเซอร์ที่พัฒนาขึ้นมีขีดจำกัดการตรวจวัดที่ 15.56 ไมโครมอลาร์ (สัญญาณด่อสัญญาณพื้น = 3) มีช่วงความเป็นเส้นตรง 20 ไมโครมอลาร์ถึง 15 มิลลิมอลาร์ ไบโอดีเซนเซอร์นี้ถูกนำมาใช้ตรวจวัดหาปริมาณกลูโคสในผลิตภัณฑ์น้ำผึ้งซึ่งพบว่ามีกลูโคสในช่วง 54 ไมโครมอลาร์ - 4.5 มิลลิมอลาร์

คำสำคัญ: กลูโคสไบโอดีเซอร์, ปรัสเซียนบลู, อนุภาคนาโนทองคำ, การ์บอนนาโนทิวบ์, กลูโคสออกซิเดส, ขั้วไฟฟ้าพิมพ์สกรีน

**Abstract**

Glucose biosensor based on the deposition of biocatalytic activity of glucose oxidase (GOx) with the electrochemical properties of Prussian blue (PB) deposited on carbon nanotube and chitosan on the sphere of gold nanoparticles (AuNP) modified screen printed electrode (SPCE/CHIT-CNT/PB/AuNP/GOx) for determination of glucose is described. The SPCE/CHIT-CNT/PB/AuNP/GOx was examined glucose in honey product using 0.1 M phosphate buffer solution pH 7.4 as supporting electrolyte. The chronoamperometric technique was used for testing

applied potential and it was found that the -0.05 V was the appropriated operational potential. The biosensor gave a detection limit of 15.56  $\mu\text{M}$  based on S/N =3 with the linearity in the range of 20  $\mu\text{M}$  to 15 mM. The SPCE/CHIT-CNT/PB/AuNP/GOx was applied to determine glucose in honey samples and it found that the glucose in honey products were in the range of 54  $\mu\text{M}$  – 4.5 mM.

Keywords: Glucose biosensors, Prussian blue, Gold nanoparticles, Carbon nanotube, Glucose oxidase, Screen printed electrode

## คำนำ

น้ำตาลกลูโคส (Glucose) เป็นน้ำตาลชนิดหนึ่งที่มีความสำคัญต่อกระบวนการเมตาโบลิซึมของร่างกาย การขาดแคลนหรือมีมากเกินไปเนื่องจากความผิดปกติของเซลล์ที่ใช้กลูโคสจะส่งผลให้เกิดโรคต่างๆ เช่น โรคเบาหวาน (Diabetes) โรคความบกพร่องจากการขาดกลูโคส (Hypoglycemia) นอกจากนี้น้ำตาลกลูโคสยังเป็นสารอาหารที่ชดเชยการขาดพลังงานอย่างเฉียบพลันของเซลล์ ซึ่งพบว่ามีการเดินน้ำตาลกลูโคสลงไปในเครื่องคั่มเกลือแร่นิดต่างๆ

น้ำผึ้งเป็นสารให้ความหวานตามธรรมชาติที่ได้จากผึ้ง ลักษณะเป็นของเหลวค่อนข้างข้น มีสีเหลืองจนถึงน้ำตาล ผึ้งผลิตน้ำตาลโดยใช้น้ำหวานที่ได้จากดอกไม้ โดยเก็บไว้ในกระเพาะอาหารแล้วนำมาเก็บไว้ในรังผึ้ง น้ำตาลในน้ำผึ้งมีถึง 95-99 % ได้แก่ฟрукโตส กลูโคส ที่ร่างกายสามารถดูดซึมไปสร้างพลังงานได้ทันที น้ำผึ้งที่ดีควรมีน้ำตาลกลูโคสประมาณ 20-40 % น้ำผึ้งสามารถใช้เป็นสารแทนความหวานแทนน้ำตาลทั่วไปได้โดยเหมาะสมสำหรับบุคคลที่ไม่ต้องการควบคุมน้ำตาลมากนัก การมีปริมาณน้ำตาลในน้ำผึ้งมากเกินไป จะทำให้การเก็บรักษาและอายุของน้ำผึ้งลดลงเนื่องจากรสชาติและกลิ่นของน้ำผึ้งเปลี่ยนไป เพราะกลูโคสที่มากเกินจะเป็นแหล่งพลังงานที่ทำให้จุลินทรีย์ทำงานเร็วขึ้น (Cavia et al., 2002)

การวิเคราะห์น้ำตาลกลูโคสในน้ำผึ้งส่วนใหญ่ทำได้โดยอาศัยเครื่องมือวิเคราะห์ที่มีค่าใช้จ่ายค่อนข้างแพง เช่น HPLC-UV-Vis , ICP-AES (Cavia et al., 2002; Ioannidou et al., 2005) ทำให้การวิเคราะห์ทำได้ช้า ไม่สามารถทำในภาคสนามได้ ดังนั้นงานวิจัยนี้จึงต้องการพัฒนากลูโคสไปโอลเซนเซอร์ในผลิตภัณฑ์น้ำผึ้งเพื่อให้การวิเคราะห์ทำได้ง่าย รวดเร็ว มีความไวมากขึ้น เช่นเซอร์ที่พัฒนาขึ้นสามารถนำไปใช้ชุมชนได้ และเป็นการทำให้ภูมิปัญญาท่องถิ่นในการผลิตน้ำผึ้งมีมาตรฐานมากขึ้นซึ่งได้จากวิธีการตรวจสอบที่ง่าย

### วัตถุประสงค์ของการวิจัย

ในการวิจัยนี้มีวัตถุประสงค์การวิจัยดังนี้

1. สังเคราะห์อนุภาคนาโนทิวบ์ให้บริสุทธิ์
2. ทำการรับอนนาโนทิวบ์ให้บริสุทธิ์
3. สร้างกลูโคสไปโอลเซนเซอร์ให้มีราคาถูกสามารถทำในภาคสนามได้

## ขอบเขตการวิจัย

### ในการวิจัยนี้มีขอบเขตการวิจัยดังนี้

1. สังเคราะห์ ศึกษาคุณลักษณะของอนุภาคนาโนทองคำ
2. สร้างและทดสอบข้าไฟฟ้าพิมพ์สกรีน
3. ประกอบและสร้างเซอร์โตกบใช้กลูโคสออกซิเดส
4. ศึกษาผลของตัวแปรได้แก่ พีเอช, ศักย์ไฟฟ้าที่ให้, ปริมาณของอนุภาคนาโนทองคำ และปริมาณของไคโตซาน
5. ศึกษาคุณลักษณะของใบโอเชนเซอร์ไวได้แก่ ช่วงความเป็นเส้นตรงของการวิเคราะห์, ขีดจำกัดการตรวจวัด และค่าการทำชำ

### ประโยชน์ที่คาดว่าจะได้รับ

#### ตารางที่ 1 ประโยชน์ที่คาดว่าจะได้รับและดัชนีวัดความสำเร็จ

ประโยชน์	ดัชนีวัดความสำเร็จ
1. เทคโนโลยีใหม่	ใบโอเชนเซอร์ชนิดใหม่โดยใช้เทคโนโลยีพิมพ์สกรีน
2. องค์ความรู้ใหม่	2.1 การสังเคราะห์สารนาโนเทคโนโลยีแบบใหม่ 2.2 นาโนเทคโนโลยี-ใบโอค่อนโพสติต
3. หน่วยงานที่จะนำไปใช้ประโยชน์	3.1 ชุมชนในท้องถิ่น 3.2 สถาบันการศึกษาต่างๆ
4. การผลิตนักศึกษา	ผลิตนักศึกษาปริญญาตรีจำนวน 1 คน
5. การตีพิมพ์ผลงานวิชาการ	ตีพิมพ์ผลการวิจัยในวารสารวิชาการอย่างน้อย 1 เรื่อง
6. การนำเสนอผลงานในที่ประชุม	6.1 เสนอผลงานวิจัยในการประชุมวิชาการระดับชาติ 6.2 เสนอผลงานวิจัยในการประชุมวิชาการระดับนานาชาติ

## นิยามศัพท์

$\text{Ag/AgCl}$  = ข้าวไฟฟ้านิกซิลเวอร์/ซิลเวอร์คลอไตร์ด

$\text{AuNP}$  = อนุภาคนาโนทองคำ

$\text{CE}$  = ข้าวไฟฟ้านับ

$e^-$  = อิเล็กตรอน

$\text{RE}$  = ข้าวไฟฟ้าอ้างอิง

$\text{CNT}$  = คาร์บอนนาโนทิวบ์

$\text{GOx}$  = เอนไซม์กูลโคสออกซิเดส

$\text{m}$  = เมตร

$\text{M}$  = ความเข้มข้นในหน่วยโมลาร์ (Molar)

$\text{MWCNT}$  = คาร์บอนนาโนทิวบ์แบบผนังหลาຍชั้น

$\text{nm}$  = ความยาวในหน่วยนาโนเมตร ( $10^{-9}$  เมตร)

$\text{PB}$  = ปรั๊สเซียนบลู

$\text{SPCE}$  = ข้าวไฟฟ้าพิมพ์สกรีนคาร์บอน

$\text{SPCE/CHIT-CNT/PB/AuNP/GOx}$  = กลูโคสในโอดีนเซอร์ที่พัฒนาขึ้นสำหรับใช้ในงานวิจัยนี้

$\text{TEM}$  = กล้องจุลทรรศน์อิเล็กตรอนแบบส่องผ่าน

$\text{WE}$  = ข้าวไฟฟ้าทำงาน

$\text{UV-Vis}$  = เครื่องยูวี-วีสิบิล สเปคโทร โฟโตมิเตอร์

$\% \text{RSD}$  = เปอร์เซ็นต์ค่าเบี่ยงเบนมาตรฐานสันพัทธ์

$\lambda$  = ความยาวคลื่น

$\mu\text{L}$  = ปริมาตรในหน่วยไมโครลิตร

## การตรวจเอกสาร

### น้ำผึ้ง (Honey)

น้ำผึ้ง คือ เป็นของเหลวที่ผึ้งดูดเก็บจากต่อมน้ำหวานของพืชนำกลับไปแปรรูปและเก็บสะสมไว้ในรังผึ้ง มีลักษณะเหลืองใสถังรูปทรงกระบอก น้ำผึ้งที่ผลิตออกมานะเกิดการเปลี่ยนแปลงทางกายภาพและทางเคมี มีความเข้มข้นสูงจนในที่สุดจะมีปริมาณน้ำเหลืออยู่ไม่เกินร้อยละ 20 ของน้ำหนัก ซึ่งระดับของความเข้มข้นของน้ำผึ้งที่สมบูรณ์จะมีปริมาณน้ำต่ำถ 79% ขึ้นไป



รูปที่ 1 น้ำผึ้ง (Wikipedia, 2012)

### คุณสมบัติทางกายภาพของน้ำผึ้ง

ที่อุณหภูมิ 20 °C มีความถ่วงจำเพาะ = 1.4225 กรัม/ลูกบาศก์เซนติเมตร

น้ำผึ้ง 3,785 มิลลิลิตร (1 แกลลอน) หนัก 5,375 กรัม

น้ำผึ้ง 0.453 กิโลกรัม (1 ปอนด์) มีปริมาตร 318.9 มิลลิลิตร

น้ำผึ้ง 0.453 กิโลกรัม (1 ปอนด์) ให้พลังงาน 1,380 แคลอรี่

น้ำผึ้ง 100 กรัม ให้พลังงาน 303 แคลอรี่

### องค์ประกอบของน้ำผึ้ง

1. ปริมาณความชื้น น้ำผึ้งที่ดีควรมีปริมาณความชื้นไม่เกินร้อยละ 21

2. น้ำตาลของน้ำผึ้ง น้ำผึ้งเป็นแหล่งสารอาหารคาร์โบไฮเดรตที่สำคัญ เพราะถ้าหากปริมาณน้ำหรือความชื้นออกเสียแล้ว ร้อยละ 95-99 ที่เหลือจะเป็นน้ำตาลชนิดต่างๆ ชนิดที่สำคัญคือ น้ำตาลลิวโคส (ฟรุกโตส) และเดกไซด์โพรต (กลูโคส) ที่ผึ้งย่อยสลายจากน้ำตาลซึ่งโปรดทราบในน้ำหวาน น้ำตาล

ทั้งสองชนิดซึ่งเป็นน้ำตาลโมเลกุลเดี่ยว ที่ร่างกายสามารถดูดซึมไปสร้างพลังงานได้ทันที นอกจากน้ำตาลทั้งสองชนิดแล้ว น้ำผึ้งยังประกอบด้วยน้ำตาลซูโคส, มอลโทส, แล็กโทส และน้ำตาลอื่น ๆ รวม 17 ชนิด

3. กรดในน้ำผึ้ง เนื่องจากน้ำผึ้งมีรสหวานจัด รสเปรี้ยวของสภาพความเป็นกรดจึงถูกปิดบัง เอาไว้ กรดในน้ำผึ้งมีหลายชนิด เช่น กรดฟอร์มิก อะซีติก มิวثار์ค ชิตริก มาลิก และซัคซินิก กรดที่สำคัญที่สุดในน้ำผึ้งคือ กรดกลูโคนิก ซึ่งเป็นอนุพัทธ์ของน้ำตาลเดกซ์โทรส ในน้ำผึ้งยังมีกรดอะมิโนถึง 16 ชนิด นอกจากนี้ยังมีกรดอนินทรีย์ คือกรดฟอสฟอริก และกรดเกลือ

4. แร่ธาตุในน้ำผึ้ง ปริมาณถ้า (ส่วนของแร่ธาตุต่างๆ) ในน้ำผึ้งมีค่าเฉลี่ยประมาณ 0.17% ของน้ำหนักน้ำผึ้ง แร่ธาตุที่พบในน้ำผึ้ง ได้แก่ แคลเซียม โพแทสเซียม ฟอสฟอรัส แมกนีเซียม โซเดียม สังกะสี เหล็ก แมงกานีส

5. เอนไซม์ในน้ำผึ้ง เอนไซม์สำคัญที่สุดที่พบในน้ำผึ้ง คือ “อินเวร์เทส” ซึ่งมีหน้าที่เปลี่ยนน้ำตาลซูโคสในน้ำหวานของตอกไม้ให้เป็นน้ำตาลแปรสภาพ คือ น้ำตาลเดกซ์โทรสและลิวูลอส ในน้ำผึ้งมีเอนไซม์ที่สำคัญอีกชนิดหนึ่งคือ “ไดแอสเทส” (หรืออัมบลีส) เอนไซม์ชนิดอื่น ๆ ในน้ำผึ้งมี เอนไซม์คatalase และฟ้อสฟาเทส และในรายงานล่าสุดพบว่าในน้ำผึ้งมีเอนไซม์อีกชนิดหนึ่งคือ กลูโคสออกซิเดส เป็นเอนไซม์จากฟาริงเกลน์ของผึ้ง ทำหน้าที่เปลี่ยนน้ำตาลกลูโคส เป็นกรดกลูโคนิก และไฮโดรเจนเปอร์ออกไซด์ หรือ “อินชิบิท” ที่ทำหน้าที่ยับยั้งและทำลายเชื้อโรคได้

6. วิตามินในน้ำผึ้ง ในน้ำผึ้งมีวิตามินอยู่หลายชนิด ได้แก่ ไทดามีน (บี1), ไรโบฟลาวิน (บี2), กรดแอสคอร์บิก (วิตามินซี), ไฟริดอกซิน (บี6), กรดแพนโทಥินิก, กรดนิโโคดินิก หรือที่เรียกว่า รวมกลุ่มว่า วิตามินบีคอมเพล็กซ์ ปริมาณวิตามินในน้ำผึ้งแต่ละชนิดแตกต่างกันตามที่มาของน้ำผึ้ง เดกซ์ทรินในน้ำผึ้ง เป็นสารประกอบที่มีโมเลกุลของกลูโคสต่อกันเป็นโซ่อิยา เป็นส่วนที่ทำให้น้ำผึ้งชุ่มคอและเคลือบผิว

7. สารแ xenobiotin ในน้ำผึ้ง สารแ xenobiotin หมายถึง โมเลกุลขนาดใหญ่ที่เกิดจากการรวมกลุ่มกันของโมเลกุลขนาดเล็ก และกระจายตัวอยู่ในของเหลวในน้ำผึ้งจะเป็นเกราะคอกไม้ ทั้งที่ไม่ถูกน้ำย่อยขยับ และที่ถูกน้ำย่อยขยับแล้วบางส่วน และพบว่ามีโปรตีน 4-7 ชนิด ในปริมาณที่แยกต่างกัน ปริมาณโปรตีนในน้ำผึ้งจะมีอยู่ประมาณ 0.1% - 0.6%

8. อินชิบิท หรือ คุณสมบัติในการคือด้านเชื้อโรคของน้ำผึ้ง สารอินชิบิทมีผลคือด้านเชื้อโรค เพราะมีการผลิตไฮโดรเจนเปอร์ออกไซด์ในปฏิกริยาเปลี่ยนน้ำตาลกลูโคสเป็นกลูโคสในแลค朵นโดยเอนไซม์กลูโคออกซิเดส ซึ่งมีการนำน้ำผึ้งมาใช้ในการรักษาบาดแผลสด ไฟไหม้ น้ำร้อนลวก

ผลิตเชื้อ สารกระดับปฏิริยาทางชีวภาพอื่น ๆ ในน้ำผึ้ง ได้แก่ วิตามินและแร่ธาตุต่าง ๆ ในน้ำผึ้ง นับว่าเป็นส่วนหนึ่งของสารที่กระดับปฏิริยาทางชีวภาพด้วย  
องค์ประกอบโดยรวมของน้ำผึ้งสรุปได้ดังตารางที่ 2

ตารางที่ 2 องค์ประกอบพื้นฐานของน้ำผึ้ง

องค์ประกอบพื้นฐาน	จำนวนเมอร์เซนต์	จำนวนกรัม
ลูโคส (d-fructose)	38.19	173.20
เด็กโกรส (d-glucose)	31.28	141.90
ซูโคส (น้ำตาลทรารย)	1.31	5.90
มอสโทส	7.31	33.20
น้ำตาลอื่นๆ	1.50	6.80
รวมปริมาณน้ำตาล	79.59	361.00
น้ำ (ความชื้น)	17.20	78.0
กรด	0.57	2.60
โปรตีน	0.26	0.20
แอช (ash)	0.17	0.80
อื่นๆ	2.21	10.00
รวม	100.00	453.60

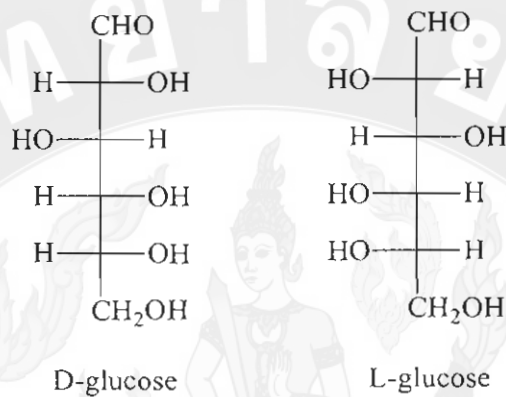
### ประโยชน์ของน้ำผึ้ง

- บรรเทาอาการไอและหวัด
- ลดกรดในกระเพาะอาหาร ช่วยให้อาหารย่อยดีขึ้น
- แก้ความดันโลหิตสูง
- ใช้เป็นส่วนประกอบในผลิตภัณฑ์ดูแลผิวพรรณและเส้นผม
- ช่วยคลายความเหนื่อยเหนื่อยและอ่อนเพลีย

### น้ำตาลกูโคส (Glucose)

น้ำตาลกูโคสเป็นน้ำตาลประเภทโมโนแซคคาไรด์ (monosaccharide) มีความสำคัญที่สุดในกลุ่มการ์โนไไฮเดรต ซึ่งเซลล์ของสิ่งมีชีวิตทุกชนิดใช้กูโคสเป็นแหล่งพลังงาน และกูโคสเป็น

หนึ่งในผลผลิตหลักของการสังเคราะห์แสง (photosynthesis) และเป็นแหล่งพลังงานสำหรับการหายใจของเซลล์ (cellular respiration) โครงสร้างโมเลกุลตามธรรมชาติของกลูโคสมี 2 รูป คือ รูป L และ D ดังรูปที่ 2 กลูโคสนี้จะอยู่ในรูปที่เรียกว่า เดกซ์ไตรส (dextrose) โดยเฉพาะอย่างยิ่งจะใช้ในในอุตสาหกรรมอาหาร



รูปที่ 2 โครงสร้างแบบ Fischer ของน้ำตาลกลูโคส

กลูโคสเป็นน้ำตาลที่พบได้ทั่วไปในรูปอิสระโดยเฉพาะในส่วนต่างๆ ของพืชพันไม้ในผักผลไม้ น้ำผึ้ง และน้ำเลือดเป็นน้ำตาลที่สามารถให้พลังงานมากที่สุดในสิ่งมีชีวิต มีความหวานเป็นที่สองรองจากน้ำตาลฟรักรโทส ทางการแพทย์ใช้กลูโคสเป็นแหล่งน้ำตาลชนิดเดียวในการแสตเมล็ดของมนุษย์ที่ได้จากการบดครัว ใบไทรcret จึงเรียกว่า น้ำตาลในเลือด (blood sugar)

### หน้าที่ของกลูโคส

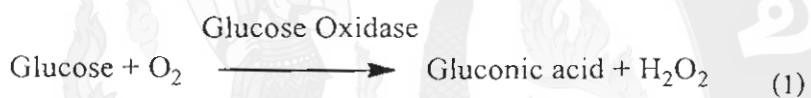
ทำหน้าที่หลัก 3 ประการในกระบวนการเมtabolism (metabolism) ของเซลล์ คือ

1. เป็นแหล่งของคาร์บอนในการสังเคราะห์คาร์บอไฮเดรต (carbohydrates) กรดอะมิโน (amino acids) และสารประกอบอื่นๆ
2. ในกระบวนการเพนโทสฟอสเฟด (pentose phosphate pathway) จะสามารถผลิต NADPH ซึ่งจำเป็นในกระบวนการสังเคราะห์ไขมัน (Lipogenesis)
3. เป็นแหล่งพลังงานโดยตรง

## เอนไซม์กลูโคสออกซิเดส (glucose oxidase : GOx)

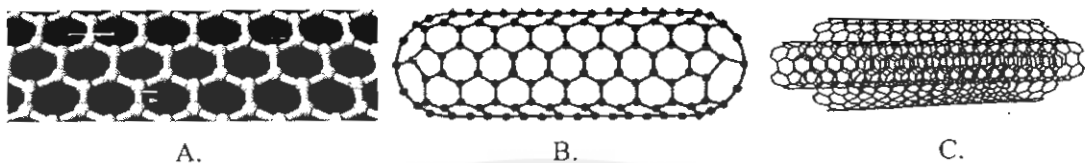
มีชื่อตามระบบคือ  $\beta$ -D-glucose : oxygen oxidoreductase : พบเมื่อปี คศ. 1982 โดย Muller โดยสกัดจาก Aspergillus แล้ว Penicillium glaucum เร่งปฏิกิริยาการออกซิเดชันของ D-glucose ไปเป็น  $\delta$ -D-gluconolactone ในสภาวะที่มีออกซิเจน เดิมมีการเรียกชื่อเอนไซม์นี้ว่า penicillum B, gluconatin และ glucose aerodehydrogenase และต่อมามาได้มีการเสนอให้เรียกว่า glucose oxidase หรือใช้ดัวย่อว่า GOx

เอนไซม์กลูโคสออกซิเดส (glucose oxidase) เป็นเอนไซม์ที่มีความจำเพาะกับกลูโคสเท่านั้น จะจับกับกลูโคสนแบบ lock and key ในใบไออกซิเจนเมื่อนำกลูโคสมาทำปฏิกิริยากับกลูโคสออกซิเดสจะได้กรดกลูโคนิกกับไออกซิเจนเปอร์ออกไซม์ โดยเมื่อเกิดปฏิกิริยากลูโคสจะถูกลายเป็นกรดกลูโคนิกดังสมการ (1)



## การ์บอนนาโนทิวบ์และคุณสมบัติโดยทั่วไป

การ์บอนนาโนทิวบ์ (Carbon nanotube) คือรูปหนึ่งของการ์บอนที่เกิดจากแผ่นกราฟิน (graphene) ม้วนตัวเกิดเป็นท่อขนาดนาโน (nanotube) ด้วยการม้วนตัวดังกล่าวเกิดเป็นท่อโดยใช้กราฟินแผ่นเดียวจะเรียกว่าซิงเกิลวอลล์การ์บอนนาโนทิวบ์ (single-walled carbon nanotube ; SWCNT) หรือเกิดจากแผ่นกราฟินหลายแผ่นม้วนตัวเกิดเป็นท่อขนาดนาโนเรียกว่ามัลติวอลล์การ์บอนนาโนทิวบ์ (multi-walled carbon nanotube ; MWCNT) ดังรูปที่ 3 ทั้งซิงเกิลวอลล์และมัลติวอลล์การ์บอนนาโนทิวบ์แสดงคุณสมบัติเด่นทางด้านแสง เคมี กล ไฟฟ้า และไฟฟ้าเคมี (Rao *et al.*, 2004; Gogotsi, 2006) ด้วยการถูกคลื่นไฟฟ้าดีดและสามารถปรับปรุงพื้นผิว (surface) ของ การ์บอนนาโนทิวบ์ได้ง่าย ทำให้มีการใช้การ์บอนนาโน-ทิวบ์ในแอปพลิเคชันด้านนาโนเทคโนโลยี ได้แก่ nanocomposite, nanotube-probe และ nanotube-proteins conjugates นอกจากนี้การ์บอนนาโนทิวบ์ยังถูกใช้ในแอปพลิเคชันด้านไบโอยาชีโนโลยีโดยการติดหมุนฟังก์ชัน (functionalization) กับオリโนวิคลีโอไทด์ (oligonucleotides), เอนไซม์ (enzymes) และ โปรตีน (proteins) เพื่อให้ได้ความเลือกเฉพาะ (selectivity) มากขึ้น



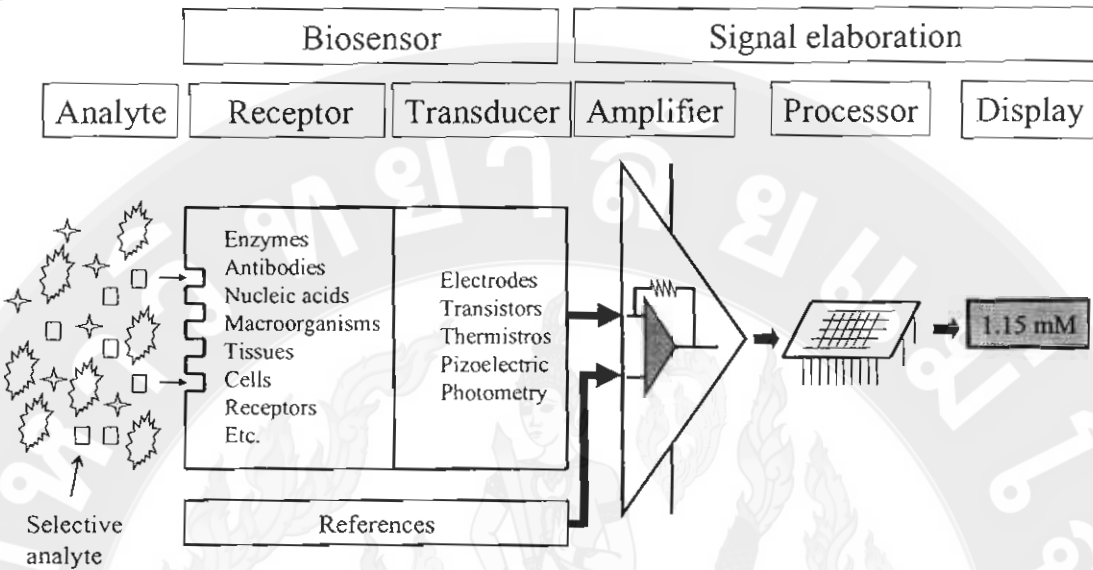
รูปที่ 3 แผ่นกราฟีน (grapheme sheet), B. ซิลิกะคลออลด์คาร์บอนนาโนทิวบ์ (single-walled carbon nanotube) และ C. มัลติวอลด์คาร์บอนนาโนทิวบ์ (multi-walled carbon nanotube)

คุณสมบัติเด่นอีกประการหนึ่งของคาร์บอนนาโนทิวบ์คือความเข้ากันได้ (compatibility) ของคาร์บอนนาโนทิวบ์กับสารชีวภาพ (biomaterials) นำไปสู่การพัฒนาใบโอเซนเซอร์ คอมโพสิต ชนิดต่างๆ เช่นการนำซิงเกิลวอลด์และมัลติวอลด์คาร์บอนนาโนทิวบ์ไปใช้ในการพัฒนาเซนเซอร์เพื่อตรวจจับกลูโคส ซึ่งทำให้เซนเซอร์ดังกล่าวมีอายุการใช้งานที่นานขึ้น โดยไม่เสียแอคติวิตี้ของเอนไซม์ ประสิทธิภาพที่ดีขึ้นของกลูโคสเซนเซอร์เกิดจากการเอนไซม์กลูโคสสามารถโหลดเข้าไปได้มากขึ้นและประสิทธิภาพของการเชื่อมต่อทางไฟฟ้าระหว่างชั้นของสารชีวภาพกับผิวสัมผัสของขั้วไฟฟ้าดีขึ้นกว่าการไม่มีคาร์บอนนาโนทิวบ์ และเกิดองค์ความรู้ใหม่คือการกันพนกการขันถ่ายอิเลคตรอนโดยตรง (direct electron transfer) ระหว่างเอนไซม์กลูโคสออกซิเดสกับขั้วไฟฟ้าเนื่องจากคาร์บอนนาโนทิวบ์ได้เข้าไปอยู่ในบริเวณแอคทิฟของเอนไซม์ทำให้สามารถส่งผ่านอิเลคตรอนได้โดยตรง นอกจากนี้ยังได้ก่อให้เกิดความเข้าใจถึงปฏิกิริยาดักจับของสารชีวโมเลกุลซึ่งเป็นองค์ความรู้ที่สำคัญในการพัฒนา nano biosensors nano bio reactors และ nano bio fuel cells ต่อไปในอนาคต

### ใบโอเซนเซอร์ทางไฟฟ้าเคมี

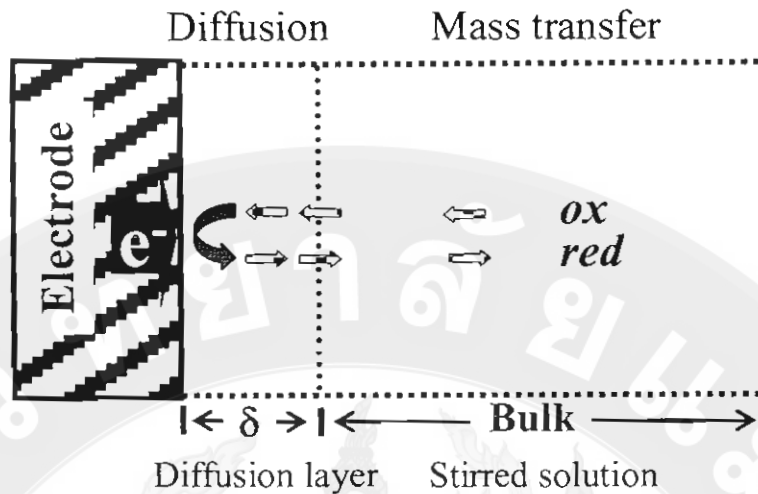
ใบโอเซนเซอร์ทางไฟฟ้าเคมี (electrochemical biosensors) เป็นเครื่องมือที่ใช้วัดปริมาณของสารใดๆ โดยใช้สัญญาณที่ได้จากการเปลี่ยนเป็นสัญญาณทางไฟฟ้า คุณลักษณะของใบโอเซนเซอร์ มีความเลือกเฉพาะสูง มีความไวสูงเมื่อเทียบกับเทคนิคเคมี-วิสิเบิล สเปก tro โฟโตเมตรี ในโอเซนเซอร์ประกอบด้วย 2 ส่วน (Kissinger, 2005; Luong *et al.*, 2008) คือ (1) ส่วนของสารทางชีวภาพ (biomaterials) ที่ทำหน้าที่จำจำ (recognition) หรือเลือกเฉพาะ (selection) สารด้วยย่างที่จะทำปฏิกิริยาทางชีวเคมีอย่างจำเพาะ ส่วนที่ (1) นี้จะถูกคริจิ (immobilization) อยู่บนผิวหน้าของ (2) ทรานส์ดิวเซอร์ (transducer) ซึ่งทรานส์ดิวเซอร์นี้จะทำหน้าที่ในการส่งผ่านสัญญาณดังกล่าวไปยังส่วนประมวลผล (processor) เพื่อวัดหรือแสดงสัญญาณให้เราได้ทราบ (signal elaboration) ซึ่งจะ

ทำหน้าที่ในการวัดสัญญาณและแปลงค่าอุณหภูมิเป็นหน่วยต่างๆ ที่ต้องการ ในโอบเซนเซอร์นี้แสดงในรูปที่ 4



รูปที่ 4 ไดอะแกรมของใบโอบเซนเซอร์ซึ่งประกอบไปด้วย (1) ส่วนของรีเซพเตอร์ที่เป็นสารชีวโมโนเลกุล และ (2) ทรานส์ดิวเซอร์ที่ทำหน้าที่ส่งผ่านสัญญาณ ให้แก่ส่วนของการประมวลผล

การเกิดกระแสทางไฟฟ้าเคมีนั้นสามารถอธิบายได้ง่ายๆ ดังรูปที่ 5 เริ่มจากการที่ตัวออกซิไดซิง (oxidizing species : ox) จากสารละลายน้ำ (bulk solution) เคลื่อนที่เข้าสู่ชั้นของการแพร (diffusion layer : δ) ใกล้ๆ บริเวณผิวน้ำขึ้นไฟฟ้าที่มีการจ่ายศักย์ไฟฟ้าจากเครื่องโพเทนชิโอล์สแตท ตัวออกซิไดซิงดังกล่าวจะรับอิเลคตรอนที่ผิวน้ำขึ้นไฟฟ้าเกิดเป็นตัวรีดิวซิง (reducing species : red) แล้วเคลื่อนที่ออกจากผิวน้ำขึ้นไฟฟ้าเข้าสู่ชั้นของการแพรและออกสู่สารละลายน้ำ ปริมาณของกระแสไฟฟ้าที่เกิดขึ้นสามารถตรวจได้โดยใช้เครื่องมือวัดคุณภาพไฟฟ้าเคมีหรือเรียกว่าเครื่องโพเทนชิโอล์สแตท (potentiostat) และสามารถนำไปแปลงได้ต่อไป



รูปที่ 5 ไดอะแกรมของปฏิกิริยาที่เกิดบนผิวน้ำข้าวไฟฟ้า สูกคร บอกริสทางของการเคลื่อนเข้าสู่ผิวน้ำข้าวไฟฟ้าของตัวออกซิไดซิง (*ox*) และสูกคร บอกริสทางการเคลื่อนที่ออกจากผิวน้ำข้าวไฟฟ้าของตัวรีดิวซิง (*red*) ส่วนสัญลักษณ์  $\delta$  คือความหนาของชั้นของการแพร่

### การตรึงเอนไซม์บนผิวน้ำข้าวไฟฟ้าด้วยเทคนิคคอมโพสิต

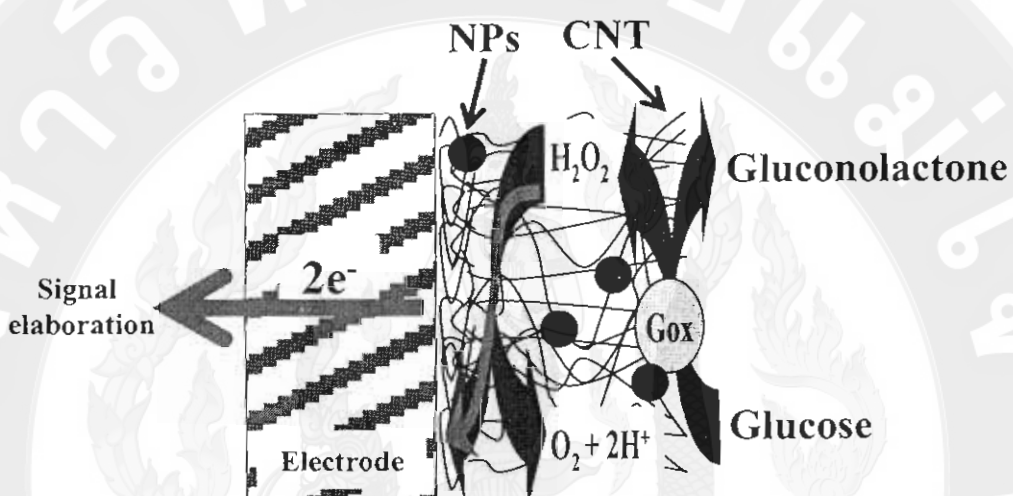
การปรับปรุงข้าวไฟฟ้าโดยเทคนิคคอมโพสิต เป็นการรวมองค์ประกอบของส่วนการรับรู้ (recognition) ร่วมกับส่วนซับพอร์ท (supporting part) ต่างๆ ที่ทำให้การตรึงดังกล่าวมีความแข็งแรง (strength) มีความทนทาน (endurance) ให้สัญญาณดีขึ้น (signal enhancing)

การตรึงเอนไซม์บนผิวน้ำข้าวไฟฟ้า สามารถทำได้โดยการผสมส่วนประกอบต่างๆ แล้วนำไปตรึงด้วยเทคนิคที่เฉพาะ เช่น การตรึงโดยการยึดเกาะ (adsorption), การตรึงโดยวิธีโพลีเมอร์ไรซีชัน (polymerization), การตรึงโดยวิธีทำให้เกิดพันธะทางเคมี (chemical bonding), การตรึงโดยวิธีเคลื่อน (entrainment) ซึ่งแต่ละเทคนิค มีข้อดี-ข้อเสียที่แตกต่างกัน การตรึงเอนไซม์ส่วนใหญ่ จะใช้เทคนิคการตรึงแบบการยึดเกาะ เพราะจะทำให้เอนไซม์ยังคงดีสภาพการทำงานที่ดี สามารถเดินทางไปต่างๆ ที่สำคัญได้ง่าย ทำการตรึงได้รวดเร็ว และสามารถทำได้ในปริมาณมาก

### การตรึงเอนไซม์บนผิวน้ำข้าวไฟฟ้าด้วยเทคนิคคอมโพสิต

กลูโคสไบโอดีเซอร์เป็นเซนเซอร์ที่ทำงานได้โดยอาศัยปฏิกิริยาทางชีวเคมีของเอนไซม์กลูโคสออกซิเดสทำปฏิกิริยากับกลูโคสไดกูลูโโนแลคโตน (gluconolactone) และไฮโดรเจนเปอร์ออกไซด์ (hydrogen peroxide) ที่เป็นปฏิกิริยาโดยตรงกับกลูโคส (Chen et al., 2008;

Crespilho *et al.*, 2008; Han *et al.*, 2008; Kang *et al.*, 2008; Luong *et al.*, 2008; Musameh *et al.*, 2008; Olea *et al.*, 2008; Sun *et al.*, 2008; Yu *et al.*, 2008; Zuo *et al.*, 2008) ไฮโดรเจนเปอร์ออกไซด์จะทำปฏิกิริยาออกซิเดชันบนผิวน้ำข้าวไฟฟ้าได้แก่สือออกซิเจนและไฮโดรเจนออกไซด์ ดังรูปที่ 6 ปฏิกิริยาที่เกิดขึ้นบนผิวน้ำข้าวไฟฟ้านี้สามารถเร่งปฏิกิริยาได้ดีขึ้น โดยอาศัย nano เทคโนโลยี เช่น การบอนนาโนทิวบ์ (CNT) และอนุภาคนาโน (nanoparticles ; NPs)



รูปที่ 6 กลไกการทำงานของกลูโคสในโอดเซนเซอร์โดยอาศัยเอนไซม์กูลูโคสออกซิเดส (glucose oxidase : Gox) ตระบันผิวน้ำข้าวไฟฟ้าร่วมกับการบอนนาโนทิวบ์ (carbon nanotube : CNT) และอนุภาคนาโน (nanoparticles : NPs) กลูโคสออกซิเดสทำปฏิกิริยากับกลูโคสแล้วได้กูลูโคโนแอลดอนและไฮโดรเจนเปอร์ออกไซด์ ซึ่งไฮโดรเจนเปอร์ออกไซด์จะถูกออกไซಡที่ผิวน้ำข้าวไฟฟ้า

การเกิดปฏิกิริยาทางไฟฟ้าเคมีของไฮโดรเจนเปอร์ออกไซด์บนผิวน้ำข้าวไฟฟ้าจะให้กระแสไฟฟ้าออกนา ซึ่งปริมาณกระแสไฟฟ้าตั้งกล่าวเป็นพึงก์ชันกับความเข้มข้นของไฮโดรเจนเปอร์ออกไซด์ เนื่องจากปริมาณของไฮโดรเจนเปอร์ออกไซด์มีความสัมพันธ์กับกลูโคส ดังนั้นกระแสที่ได้จะเป็นความสัมพันธ์กับกลูโคส ดังสมการ (2) (Lacourse, 1997; Settle, 1997)

$$i = \frac{nFADC}{\delta} \quad (2)$$

เมื่อ  $i$  คือกระแสไฟฟ้า,  $n$  คือจำนวนอิเล็กตรอนที่ใช้ในปฏิกิริยา,  $A$  คือพื้นที่ผิวของข้าวไฟฟ้า,  $D$  คือสัมประสิทธิ์ของการแพร่,  $C$  คือความเข้มข้นของกลูโคส,  $\delta$  คือความหนาของชั้นการแพร่

## งานวิจัยที่เกี่ยวข้อง

การพัฒนา gluco-โอลิเซนเซอร์มีมาอย่างค่อยเป็นค่อยไป เนื่องโดยมีเรื่องใช้มิกส์ gluco-โอลิเซนเซิด (glucose oxidase ; GOx) ทำหน้าที่รับรู้ (recognition) กับ gluco-โอลิเซที่มีอยู่ในสารละลาย มีการนำเทคโนโลยีและวัสดุต่างๆ เช่นเทฟลอน<sup>®</sup> (Teflon<sup>®</sup>), คาร์บอนนาโนทิวบ์ (CNT), แพลทินัมโซลเจล (Pt-sol-gel), ไคโอดีชาน (chitosan, CHIT), แฟฟฟิอ่อน<sup>®</sup> (nafion<sup>®</sup>), โพลีไพรอล (polypyrrole ; PPy), คาร์บอนนาโนทิวบ์-คาร์บอนเพสเด็ท (CNTPE), อนุภาคนาโนทองคำ (AuNP), อนุภาคแพลทินัมนano (PtNP) โดยนำอนุภาคเหล่านี้ลงบนผิวน้ำข้าไฟฟ้าชนิดต่างๆ กัน เช่นกลาสสิการ์บอน (GCE), กราไฟต์ (graphite), เบซอลเพลนไฟโรลิติกกราไฟต์ (BBPG) การปรับปรุงดังกล่าวทำประสิทธิภาพและคุณลักษณะของข้าไฟฟ้า เช่นศักย์ไฟฟ้าที่ให้แก่ข้าไฟฟ้า ( $E_{\text{applied}}$ ), ช่วงที่เป็นเส้นตรง (linear range), ความไว (sensitivity), จุดจำกัดของการตรวจวัด (limit of detection ; LOD), อายุการใช้งาน (useful lifetime), ค่าการยับยั้งของไมเคโลลิติก ( $K_M^{\text{app}}$ ) และคงได้ดังตารางที่ 3

ตารางที่ 3 เปรียบเทียบคุณลักษณะของใบโอิเซนเซอร์ที่ได้จากการปรับปรุงข้าวไฟฟ้าโดยใช้วัสดุที่แตกต่างกัน

Biosensor	$E_{\text{applied}}$ (V)	Linearity (mM)	Sensitivity ( $\text{mA M}^{-1}$ )	LOD ( $\mu\text{M}$ )	Useful life time	$K_m^{\text{app}}$ (mM)	References
GOx–CNT–Teflon	+0.1	2–20					(Wang and Musameh, 2003)
GOx–CoNP–CNT–CHIT–GCE	-0.2 vs SCE	0.01–10		5			(Yang <i>et al.</i> , 2006)
PDDA/GOx/PDDA/CNT–GCE	-0.1 vs Ag/AgCl <sup>a</sup>	0.015–6		7	1 month <sup>b</sup>		(Liu and Lin, 2006)
GOx–Pt–sol–gel/CNT	+0.1	1–25	1.2				
(CNT–GOx) <sub>n</sub> –graphite	+0.6	0.5–15	0.039	90	15 days <sup>a</sup>		(Huang <i>et al.</i> , 2006)
GOx–CNT–CHIT	+0.4	up to 78	0.52		14 days <sup>a</sup>		(Liu <i>et al.</i> , 2005)

Biosensor	$E_{\text{applied}}$ (V)	Linearity (mM)	Sensitivity (mA M <sup>-1</sup> )	LOD ( $\mu\text{M}$ )	Useful life time	$K_a^{\text{TR}}$ ( $\mu\text{M}$ )	References
Pd-GOx-Nafion-CNT	+0.3 vs Ag/AgCl	up to 12		150		8.2	(Lim <i>et al.</i> , 2005)
PPy/CNT/GOx-GCE	+0.9 vs Ag/AgCl	4–50	0.023	200			(Wang and Musameh, 2005)
CNTPE-GOx	-0.1	up to 25	0.013	600	3 months <sup>a</sup>		(Rubiane s and Rivas, 2003)
AuNP/CNT-GOx	+0.45	0.05–13	0.01	10	22 days		(Wang <i>et al.</i> , 2003)
Gox/PtNP/CNT/graphite	+0.6 vs SCE	0.1–13.5			3 weeks		(Tang <i>et al.</i> , 2004)
CNT-sol-gel-GOx/BBPG	+0.3 vs SCE	0.2–20	0.196	50		10.11	(Salimi <i>et al.</i> , 2004)
GOx/CHIT/Nafion-CNT/GCE	+0.7	up to 7.5	0.28	35			(Rivas <i>et al.</i> , 2007)

a = Flow injection stability

b = Storage stability

อย่างไรก็ดี ยังไม่มีรายงานการทำในโอดิเซอร์โดยใช้ข้าวไฟฟ้าพิมพ์สกรีนเป็นวัสดุใช้งาน จึงทำให้คณะผู้จัดทำโครงการนี้ เลือกเห็นว่าควรปรับปรุงด้วยข้าวไฟฟ้าพิมพ์สกรีนซึ่งสามารถผลิต ขึ้นได้เอง สำหรับตัวอย่างที่จะนำไปใช้คือตัวอย่างน้ำผึ้ง ซึ่งจะเป็นการนำเทคโนโลยีโลหะนิวเคลียร์ มาเพื่อทำให้ชุมชนได้ทราบถูกและเพิ่มคุณภาพของน้ำผึ้งซึ่งเป็นสินค้าของจังหวัดเชียงใหม่ โดยมี การตรวจวัดที่ง่ายและมีราคาถูก

## อุปกรณ์และวิธีการ

### สารเคมีและอุปกรณ์

ในการทำการวิจัยนี้ได้จัดเตรียมสารเคมี ดังตารางที่ 4 เพื่อนำไปเตรียมสารละลายที่ใช้ในการทดลอง หรือใช้ในการสังเคราะห์สารสำคัญ สำหรับนำมาปรับปรุงกลูโคสไบโอดิเซนเซอร์ในการตรวจหาปริมาณกลูโคส

ตารางที่ 4 สารเคมี

ลำดับ	ชื่อสารเคมี	เกรด	บริษัทผู้ผลิต	ประเทศ
1.	Ascorbic acid	AR grade	May & Barker	England
2.	Carbon ink	-	Acheson	USA
3.	Multi-walled carbon nanotube	> 98.9%	Nanolab	USA
4.	Caffeine	AR grade	Sigma	USA
5.	D-glucose anhydrous ( $C_6H_{12}O_6$ )	99.0%	Ajax Chemical	Australia
6.	Dimethylformamide (DMF)	HPLC	Ajax Chemical	Australia
7.	Disodium hydrogen orthophosphate ( $Na_2HPO_4$ )	99.0%	Ajax Chemical	Australia
8.	Ethanol ( $C_2H_5OH$ )	AR grade	Merck	Germany
9.	Ferric chloride anhydrous ( $FeCl_3$ )	99.0%	Fluka	Switzerland
10.	Glucose oxidase (GOx) from aspergillus niger	100,000 – 25,000 units/g	Sigma	USA
11.	Gold (III) chloride trihydrate ( $HAuCl_4$ )	49.0%	Sigma	USA
12.	Hydrochloric acid (HCl)	37.0%	Merck	Germany
13.	Nitric acid ( $HNO_3$ )	70.0%	Ajax Chemical	Australia
14.	Potassium chloride (KCl)	99.5%	Merck	Germany
15.	Potassium ferricyanide ( $K_3Fe(CN)_6$ )	99.0%	Ajax Chemical	Australia
16.	Silver/silver chloride ink	-	Acheson	USA
17.	Sodium dihydrogen orthophosphate ( $NaH_2PO_4 \cdot 2H_2O$ )	99.0%	Ajax Chemical	Australia

ลำดับ	ชื่อสารเคมี	เกรด	บริษัทผู้ผลิต	ประเทศ
18.	Trisodium citrate ( $\text{Na}_3\text{C}_6\text{H}_5\text{O}_7$ )	99.0%	Ajax Chemical	Australia

### เครื่องมือและอุปกรณ์

ในการทำการวิจัยนี้ได้จัดเตรียมเครื่องมือและอุปกรณ์ที่สำคัญเพื่อใช้ในการทดลอง เช่น อุปกรณ์ที่ใช้ในการสังเคราะห์สาร หรือเครื่องมือที่ใช้ในการตรวจวัดเพื่อวิเคราะห์หาปริมาณกลูโคสในสารตัวอย่าง ดังตารางที่ 5

ตารางที่ 5 เครื่องมือและอุปกรณ์ที่ใช้ในการวิจัย

ลำดับ	ชื่อเครื่องมือและอุปกรณ์	บริษัทผู้ผลิต/รุ่น	ประเทศ
4.	เครื่องซึ่งสีต้มแห้ง	Mettler Toledo / pg 5002-s	Switzerland
5.	เครื่องไมโครเวฟ	Samsung / M181GN	Thailand
6.	เครื่องวัดคุณศักย์-กระแสไฟฟ้า	CH Instrument/CH1230A	USA
7.	เครื่องวัดกลูโคส	Medisense/optium xceed	USA
8.	เครื่องขูวิสิเบลสเปกโตรโฟโต มิเดอร์	Hitachi / U-2900	Japan
9.	เครื่องอัลตราโซนิก	Labquip	England
10.	เตาอบ (Oven)	Gallenkamp	Germany

### การประดิษฐ์ข้าไฟฟ้าพิมพ์สกรีน (Screen printed electrode preparation)

ข้าไฟฟ้าพิมพ์สกรีน ได้สร้างขึ้นโดยใช้โปรแกรม CAD/CAM ในการออกแบบ ซึ่งข้านี้เป็นข้าที่มี 3 ข้าในพิมพ์เดียว โดยมีข้าไฟฟ้าทำงาน (Working electrode; WE) เป็นรูปสี่เหลี่ยมขนาด 2.21 ตารางเซนติเมตร มีข้าไฟฟ้าช่วยขนาดใหญ่กว่าข้าไฟฟ้าทำงาน และมีข้าไฟฟ้าอ้างอิงขนาดเล็กกว่าข้าทำงาน ดังรูปที่ 7 วิธีการสร้างนี้ได้ใช้ตามวิธีของ Tangkauram (Tangkuaram *et al.*, 2007) สรุปได้ดังนี้คือ

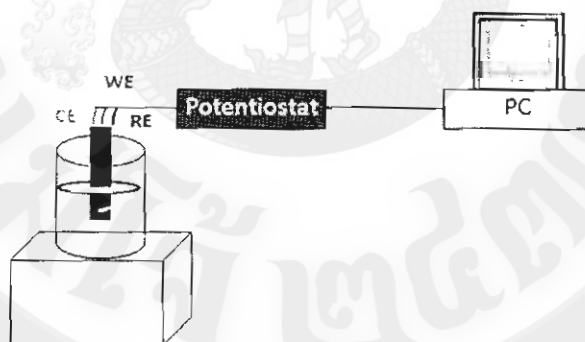
1. สกรีนสีคาร์บอน (Carbon-ink) ลงไปบนแผ่น PVC เพื่อทำเป็นนำไฟฟ้า, ข้าไฟฟ้าทำงาน และข้าไฟฟ้าช่วย
2. สกรีนต่อด้วยสีเงิน/เงินคลอไรต์ ( $\text{Ag}/\text{AgCl}$  ink) เพื่อเป็นข้าอ้างอิง
3. สกรีนทับด้วยสี绝缘 (Insulator ink) เพื่อกำหนดขอบเขตของข้าไฟฟ้า

#### 4. อบให้แห้งที่อุณหภูมิ $80^{\circ}\text{C}$



#### การทดสอบข้าวไฟฟ้าพิมพ์สกรีนด้วยเทคนิคไซคลิกโวลเทมเมทรี

นำข้าวไฟฟ้าพิมพ์สกรีนทำงานมาทดสอบด้วยเทคนิคไซคลิกโวลเทมเมทรี โดยจัดการทดลองดังรูปที่ 8 ทำการวัดสารละลายน้ำตราชูนหรือสารละลายน้ำอะเซติก acid 0.1 มอลาร์ จากนั้น ทำการวัดโภแทสเซียมเยกซ์ไซบานาเพอเรต ที่ความเข้มข้น 10, 20 และ 30 มิลลิโมลาร์ ตามลำดับ โดยใช้ศักย์ไฟฟ้าในช่วง -1.0 ถึง 1.0 โวลต์ เพื่อหาข้าวไฟฟ้าพิมพ์สกรีนที่ให้สัญญาณสูงที่สุด



รูปที่ 8 การจัดเซลล์สำหรับการทดลองด้วยเทคนิคโวลเทมเมทรี

#### การเตรียมทองนาโน (Gold nanoparticle)

นำ 0.010% ทองคลอไรด์ ( $\text{HAuCl}_4$ ) มา 5.0 mL แล้วให้ความร้อนโดยเครื่องไมโครเวฟ ที่กำลังไฟฟ้า 100 วัตต์ เป็นเวลา 2 นาที จากนั้นเติม 1% ไตรโซเดียมซิเดรต ( $\text{Na}_3\text{C}_6\text{H}_5\text{O}_7$ ) ปริมาณ 18  $\mu\text{L}$  ลงไปใน 0.01% ทองคลอไรด์ทั้ง 5 บีกเกอร์ จากนั้นแล้วนำทองนาโนทั้งหมดไปหาลักษณะทางภาพทางแสงด้วยเครื่องยูวี-วีสิเบิลสเปกโตรสโคป

### การล้างคาร์บอนนาโนทิวบ์ (Carbon nanotube purification)

ชั้งการบอนนาโนทิวบ์มา 0.0300 g แล้วเติมกรดไนโตริก ( $\text{HNO}_3$ ) ลงไป 40.0 mL แล้วปิดด้วยพาราฟิล์ม จากนั้นนำไปไอลีก้าซ (sonicate) 10-12 ชั่วโมง ตั้งทิ้งไว้ให้ตกร่องอกอีก 10-12 ชั่วโมง จากนั้นค่อยๆ เทน้ำออกอาบน้ำตะกอนที่ได้มาน้ำประสาจากไออกอนจนเดิมนีกเกอร์แล้วตั้งทิ้งไว้ให้ตกร่องอก วัดค่า  $\text{pH}$  ให้ได้ค่า ~ 7 แต่ถ้า  $\text{pH} \neq 7$  ทำการตกร่องอกไปเรื่อยๆ จนได้  $\text{pH} \sim 7$  เมื่อได้  $\text{pH} \sim 7$  เทน้ำออกให้เหลือเฉพาะตะกอน แล้วนำไปอบให้แห้งที่อุณหภูมิ  $90^{\circ}\text{C}$

### การเตรียมสเลอเดี้ย คาร์บอนนาโนทิวบ์ (Carbon nanotube slurry preparation)

นำการบอนนาโนทิวบ์ที่ได้จากข้อ 2.3.2 มา 2 mg เติม DMF ลงไป 1 mL จากนั้นนำไปทำให้เป็นเนื้อเดียวกันโดยการเขย่าด้วยเครื่องอัลตราโซนิกเป็นเวลา 2 ชั่วโมง หลังจากนั้นจึงเก็บไว้ในขวดปิด ก่อนนำมาใช้ต้องทำการเขย่าด้วยเครื่องอัลตราโซนิกทุกครั้ง

### การเตรียมฟอสเฟตบัฟเฟอร์ 0.1 M pH 7.4

#### 1. เตรียม 0.2 M Dibasic sodium phosphate (สาร A)

ชั้ง  $\text{Na}_2\text{HPO}_4$  มา 7.1 g ละลายด้วยน้ำ DI ให้ได้ปริมาตร 250 mL

#### 2. เตรียม 0.2 M Monobasic sodium phosphate (สาร B)

ชั้ง  $\text{NaH}_2\text{PO}_4 \cdot 2\text{H}_2\text{O}$  ต้องชั้งมา 7.80 g ละลายด้วยน้ำ DI ให้ได้ปริมาตร 250 mL

#### 3. เตรียมฟอสเฟตบัฟเฟอร์

นำสาร A มา 40.5 mL + สาร B มา 9.5 mL ละลายด้วยน้ำประสาจากไออกอนให้ได้ปริมาตร 100 mL ในขวดปริมาตร 100 mL จะได้ฟอสเฟตบัฟเฟอร์เข้มข้น 0.1 M pH 7.4

### การเตรียมกลูโคสไบโอดีเซนเซอร์

การเตรียมกลูโคสไบโอดีเซนเซอร์ (SPCE/CHIT-CNT/PB/AuNP/GOx) ทำได้โดยการตรึงคาร์บอนนาโนทิวบ์-ไคโตซานบนผิวน้ำแข็งไฟฟ้าโดยใช้เทคนิคการเกาะติดด้วยไฟฟ้า (Electrodeposition) หลังจากนั้นจึงทำการตรึงด้วยปรัสเซียนบลู (Prussian blue) โดยใช้ศักย์ไฟฟ้า -

2.0 V ด้วยเครื่องเครื่องวัดคุณศักย์กระแสไฟฟ้า หลังจากนั้นจึงทำการตรึงต่อด้วยเอนไซม์กลูโคสออกซิเดสโดยใช้เอนไซม์เข้มข้น  $3 \text{ mg L}^{-1}$  ปริมาตร  $30 \mu\text{L}$  รอให้แห้ง แล้วจึงตรึงทับด้วยอนุภาคนาโนทองคำ จะได้กลูโคสไบโอดีเซนเซอร์ที่พร้อมใช้งาน

### การตรวจปริมาณกําลัง

นำกําลังในโภชนาเซอร์ที่พัฒนาไปตรวจวัดหาปริมาณของกําลังในด้วอย่างน้ำผึ้งที่ได้จาก  
หลาฯ ยี่ห้อ โดยไม่ต้องทำการเตรียมตัวอย่างก่อนทำการตรวจวัด



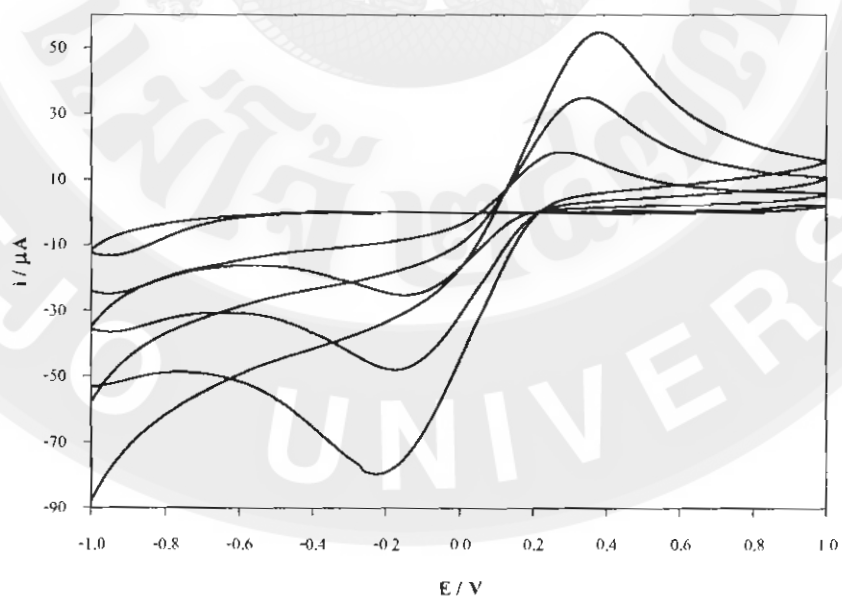
## ผลการวิจัยและวิจารณ์ผลการวิจัย

## การสร้างข้าไฟฟ้าพิมพ์สกรีน

นำข้าวไฟฟ้าพิมพ์สกรีนทำงานแบบสีเหลี่ยมที่ประดิษฐ์ได้ดังรูปที่ 9 มาทดสอบด้วยเทคนิคใช้คลิกโวล์ตเอมเมตري ทำการวัดสารละลายน้ำร้อน โพแทสเซียมเชิงชีวภาพในเพอร์เซนต์ที่ความเข้มข้น 10, 20 และ 30 มิลลิโนลาร์ ตามลำดับ โดยใช้สารละลายน้ำอิเล็กโทรไลท์ช่วยเป็นโพแทสเซียมคลอร์ไรด์เข้มข้น 0.1 โนลาร์ โดยสแกนศักย์ไฟฟ้าในช่วง -1.0 ถึง 1.0 โวลต์ ที่อัตราการสแกน 50 มิลลิโวลต์ต่อนาที ได้ผลดังรูปที่ 10



รูปที่ 9 การออกแบบข้าวไฟฟ้าพิมพ์สกรีนแบบสี่เหลี่ยม



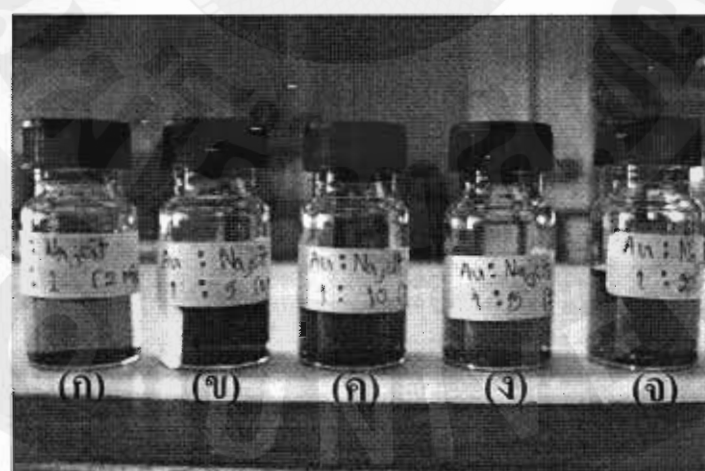
รูปที่ 10 ไซคลิกโวลแ铤โน้แกรมของข้าไฟฟ้าพิมพ์สกรีน โดยทดลองในสารละลายนองโพแทสเซียมออกซ์ไซยาโนเฟอเรตที่ความเข้มข้น ก) 0.0 ข) 10.0 ค) 20.0 และ ง) 30.0 มิลลิโน้ลาร์ โดยมีสารละลายนอกต้องไรค์เข้มข้น 0.1 โน้ลาร์เป็นสารละลายน้ำอิเด็กทอร์ไอลด์ช่วย

จากรูปที่ 10 พนว่าความสูงของกระแสพิคที่ได้จากขั้วฟ้าพิมพ์สกรีนที่ความเข้มข้นต่างๆ กัน มีความสอดคล้องในแบบของความสูงของกระแสแอลูดิกและกระแสแคลโทดิก ซึ่งความสัมพันธ์ระหว่างกระแสพิคกับความเข้มข้นของสารละลายโพแทสเซียมไฮเดอกซ์ไซด์โนเฟอเรตมีความสัมพันธ์ดังกล่าวเป็นไปตามสมการของ Randles-Sevcik [(Wang, 2006)]

### การเตรียมสารละลายทองนาโน

#### ผลจากการวัดค่าการตัดกืนแสงด้วยเครื่องยูวี-วีสิบิลสเปกโกรสโกปีของทองนาโน

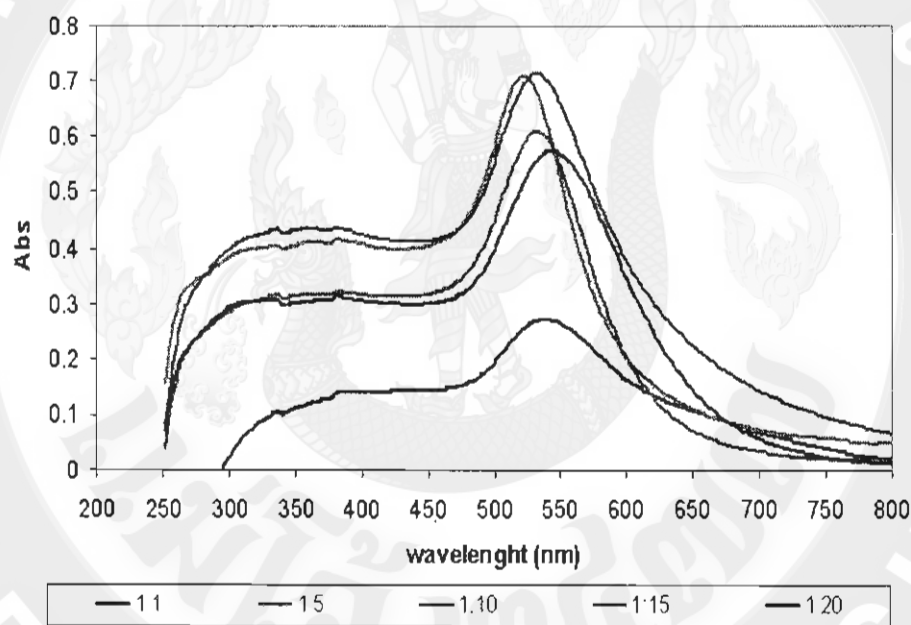
สารละลายทองนาโนที่ให้ความร้อนเป็นเวลา 2 นาทีในอัตราส่วนของทองคลอไรด์ : ได้ใช้เดี่ยมซิเตอร์ที่ 1:1 และ 1:20 ดังรูปที่ 11(ก) และ รูปที่ 11(จ) ตามลำดับ ให้สารละลายสีม่วงอ่อนเกิดเป็นทองนาโนขึ้นไม่สมบูรณ์และไม่เสถียร สังเกตจากการตั้งสารละลายทองนาโนนี้ไว้เป็นเวลานานจะเกิดเป็นตะกอนเกิดขึ้น ส่วนสารละลายทองนาโนที่อัตราส่วนของทองคลอไรด์ : ได้ใช้เดี่ยมซิเตอร์ที่ 1:5 และ 1:10 ดังรูปที่ 11(บ) และรูปที่ 11(ค) ตามลำดับ มีสีแดงเข้มร้ารื่นจะเกิดเป็นทองนาโนอย่างสมบูรณ์ซึ่งสอดคล้องกับผลของ Tangkuaram et.al [1] และสารละลายทองนาโนที่อัตราส่วนของทองคลอไรด์ : ได้ใช้เดี่ยมซิเตอร์ที่ 1:15 ดังรูปที่ 11(ง) มีสีแดงอ่อนเนื่องจากยังเกิดเป็นทองนาโนขึ้นไม่สมบูรณ์ เพราะปริมาณตัวเรซิวัชซ์ของได้ใช้เดี่ยมซิเตอร์นี้ปริมาณมากเกินไป



รูปที่ 11 สารละลายของทองนาโนให้ความร้อนเป็นเวลา 2 นาทีในอัตราส่วนของทองคลอไรด์ : ได้ใช้เดี่ยมซิเตอร์ที่ (ก) 1:1 (ง) 1:5 (ค) 1:10 (ง) 1:15 และ (จ) 1:20

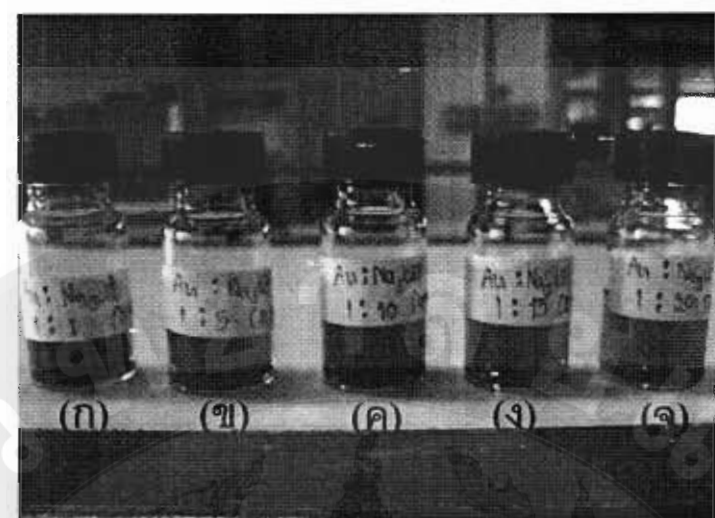
จากนั้นนำสารละลายทองนาโนที่ให้ความร้อนเป็นเวลา 2 นาทีในอัตราส่วนของทองคลอไรด์ : ได้ใช้เดี่ยมซิเตอร์ที่ 1:1, 1:5, 1:10, 1:15 และ 1:20 ไปวัดค่าคุณภาพแสงด้วยยูวี-วีสิบิลสเปก

โดยโฟโตมิเตอร์ พบว่าสารละลายน้ำในน้ำมีพิคของการดูดกลืนแสงในช่วง 520 ถึง 530 นาโนเมตร สอดคล้องกับผลของ Tangkuaram et.al [1] และการให้ความร้อนตอนสุดท้ายที่เวลา 2 นาที อัตราส่วนของทองคลอไรด์ : ไฮโซเดียมซิเตรตที่ 1:1 ให้ค่าการดูดกลืนแสงต่ำที่สุด ( $Abs=0.271$ ) และที่อัตราส่วน 1:10 ให้ค่าการดูดกลืนแสงสูงที่สุด ( $Abs=0.713$ ) ส่วนที่อัตราส่วน 1:5, 1:15 และ 1:20 มีค่าการดูดกลืนแสง 0.710, 0.609 และ 0.574 ตามลำดับ ดังรูปที่ 12 ซึ่งจากผลการทดลองนี้ พบว่าที่อัตราส่วนต่ำปกวิริยาขึ้นไม่สมบูรณ์จึงมีค่าการดูดกลืนแสงน้อย เมื่อเพิ่มอัตราส่วนมากขึ้นอีกค่าการดูดกลืนแสงก็จะเพิ่มมากขึ้นจนกระหึ่งอัตราส่วน 1:10 จะมีค่าการดูดกลืนแสงสูงที่สุดและเกิดเป็นทองนาโน จากนั้นค่าการดูดกลืนแสงก็จะลดลงเมื่อมีอัตราส่วนเพิ่มขึ้นอีกเนื่องมาจากปริมาณตัวเรactiv ของไฮโซเดียมซิเตรตมีปริมาณมากเกินไปทองนาโนจึงลดลง



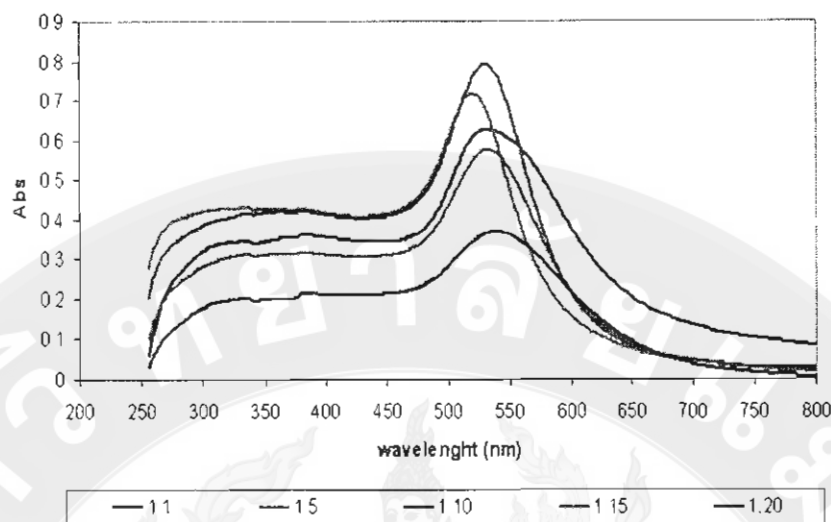
รูปที่ 12 ขูวีสเปกตรัมของทองนาโนที่สังเคราะห์ด้วยอัตราส่วนของทองคลอไรด์: ไฮโซเดียมซิเตรตที่ 1:1, 1:5, 1:10, 1:15 และ 1:20 โดยให้ความร้อนโดยครึ่งไมโครเวฟเป็นเวลา 2 นาที

สารละลายน้ำในที่ให้ความร้อนเป็นเวลา 4 นาทีในอัตราส่วนของทองคลอไรด์ : ไฮโซเดียมซิเตรตที่ 1:1 และ 1:20 ดังรูปที่ 13ก และ รูปที่ 13ช ตามลำดับ ให้สารละลายน้ำสีน้ำเงินเกิดเป็นทองนาโนขึ้นไม่สมบูรณ์และไม่เสถียร ส่วนสารละลายน้ำในที่อัตราส่วนของทองคลอไรด์ : ไฮโซเดียมซิเตรตที่ 1:5, 1:10 และ 1:15 ดังรูปที่ 13خ, 13ก และรูปที่ 13ง ตามลำดับ มีสีแดงเชอร์รี่จะเกิดเป็นทองนาโนอย่างสมบูรณ์เนื่องจากมีการเติมตัวเรactiv ของไฮโซเดียมซิเตรตในปริมาณที่เหมาะสม



รูปที่ 13 สารละลายนองทองนาโนให้ความร้อนเป็นเวลา 4 นาทีในอัตราส่วนของทองคลอไรด์ : ไตรโซเดียมซิเตรตที่ (ก) 1:1 (ข) 1:5 (ค) 1:10 (ง) 1:15 และ (จ) 1:20

จากนั้นนำสารละลายนองนาโนที่ให้ความร้อนเป็นเวลา 4 นาทีในอัตราส่วนของทองคลอไรด์ : ไตรโซเดียมซิเตรตที่ 1:1, 1:5, 1:10, 1:15 และ 1:20 ไปวัดค่าคุณภาพแสงด้วยชีวิวิสเมิลสเปกโตรโฟโตมิเตอร์พบว่าสารละลายนองนาโนมีพิเศษของการคุณภาพแสงในช่วง 520 ถึง 530 นาโนเมตร และพบว่าการให้ความร้อนตอนสุดท้ายที่เวลา 4 นาที อัตราส่วนของทองคลอไรด์ : ไตรโซเดียมซิเตรตที่ 1:20 ให้ค่าการคุณภาพแสงต่ำที่สุด ( $Abs=0.370$ ) และที่อัตราส่วน 1:10 ให้ค่าการคุณภาพแสงสูงที่สุด ( $Abs=0.792$ ) ส่วนที่อัตราส่วน 1:1, 1:5 และ 1:15 มีค่าการคุณภาพแสง 0.627, 0.719 และ 0.578 ตามลำดับ ดังรูปที่ 14 ซึ่งพบว่าที่อัตราส่วนต่ำจะให้ค่าการคุณภาพแสงน้อย เมื่ออัตราส่วนเพิ่มขึ้นอีกถึงค่าหนึ่งก็จะทำให้เกิดเป็นทองนาโนที่มีสีแดงเชอร์รี่ แต่เมื่อเพิ่มอัตราส่วนขึ้นอีกค่าการคุณภาพแสงก็จะลดลงเนื่องจากมีปริมาณตัวเรticulants ของไตรโซเดียมซิเตรตมีปริมาณมากเกินไปทองนาโนจึงลดลง



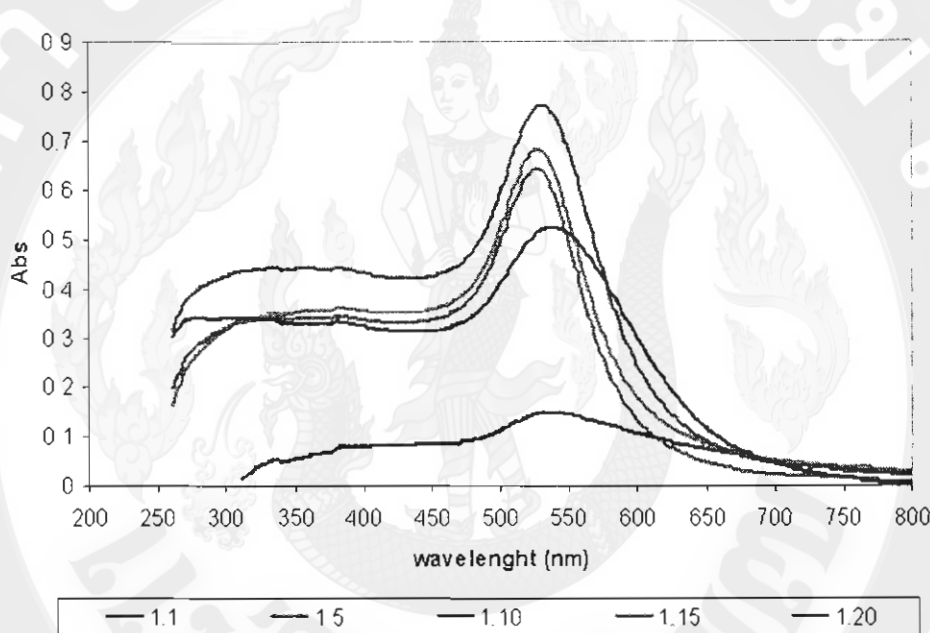
รูปที่ 14 บุวิสเปกตรัมของทองนาโนที่สังเคราะห์ด้วยอัตราส่วนของทองคลอไรด์: ไตรโซเดียมซิเตรตที่ 1:1, 1:5, 1:10, 1:15 และ 1:20 โดยให้ความร้อนโดยเครื่องไมโครเวฟเป็นเวลา 4 นาที

สารละลายนอนในที่ให้ความร้อนเป็นเวลา 6 นาทีในอัตราส่วนของทองคลอไรด์: ไตรโซเดียมซิเตรตที่ 1:5, 1:10 และ 1:15 ดังรูปที่ 15(ก), 15(ค) และ 15(จ) ตามลำดับ ให้สารละลายน้ำเป็นสีแดง เชอร์รี่ซึ่งเกิดเป็นทองนาโนอย่างสมบูรณ์ ส่วนสารละลายนอนในในอัตราส่วนของทองคลอไรด์: ไตรโซเดียมซิเตรตที่ 1:1 และ 1:20 ดังรูปที่ 15(ก) และ 15(จ) ตามลำดับ เป็นสารละลายน้ำสีน้ำเงินซึ่งเกิดเป็นทองนาโนไม่สมบูรณ์ซึ่งให้ผลเหมือนกับสารละลายนอนที่ให้ความร้อนเป็นเวลา 2 และ 4 นาที



รูปที่ 15 สารละลายนอนที่ให้ความร้อนเป็นเวลา 6 นาทีในอัตราส่วนของทองคลอไรด์: ไตรโซเดียมซิเตรตที่ (ก) 1:1 (ข) 1:5 (ค) 1:10 (จ) 1:15 และ (จ) 1:20

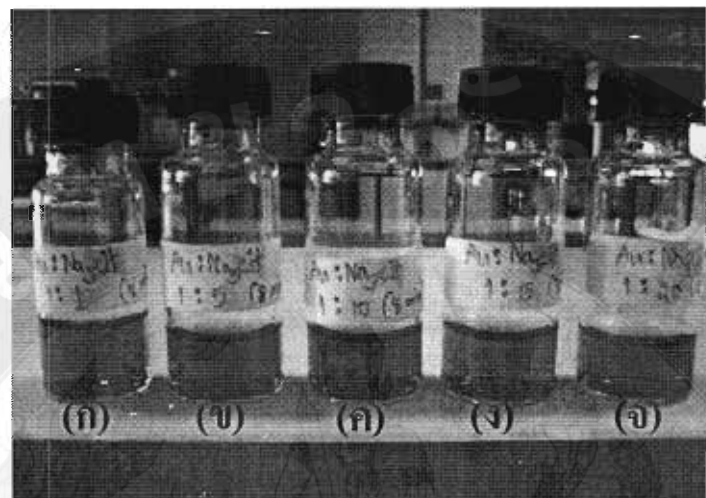
จากนั้นนำสารละลายทองนาโนที่ให้ความร้อนเป็นเวลา 4 นาทีในอัตราส่วนของทองคลอไรด์ : ไตรโซเดียมซิเตรตที่ 1:1, 1:5, 1:10, 1:15 และ 1:20 ไปวัดค่าดูดกลืนแสงด้วยยูวีวิสเปกโตรโฟโตเมตรีเดอร์พบว่าสารละลายทองนาโนมีพิกของดูดกลืนแสงในช่วง 520 ถึง 530 นาโนเมตร และพบว่าการให้ความร้อนตอนสุดท้ายที่เวลา 6 นาที อัตราส่วนของทองคลอไรด์ : ไตรโซเดียมซิเตรตที่ 1:1 ให้ค่าการดูดกลืนแสงค่าที่สุด ( $Abs=0.148$ ) และที่อัตราส่วน 1:10 ให้ค่าการดูดกลืนแสงสูงที่สุด ( $Abs=0.770$ ) ส่วนที่อัตราส่วน 1:5, 1:15 และ 1:20 มีค่าการดูดกลืนแสง 0.681, 0.642 และ 0.524 ตามลำดับ ดังรูปที่ 16



รูปที่ 16 ยูวีสเปกตรัมของทองนาโนที่สังเคราะห์ด้วยอัตราส่วนของทองคลอไรด์ : ไตรโซเดียมซิเตรตที่ 1:1, 1:5, 1:10, 1:15 และ 1:20 โดยให้ความร้อนโดยเครื่องไมโครเวฟเป็นเวลา 6 นาที

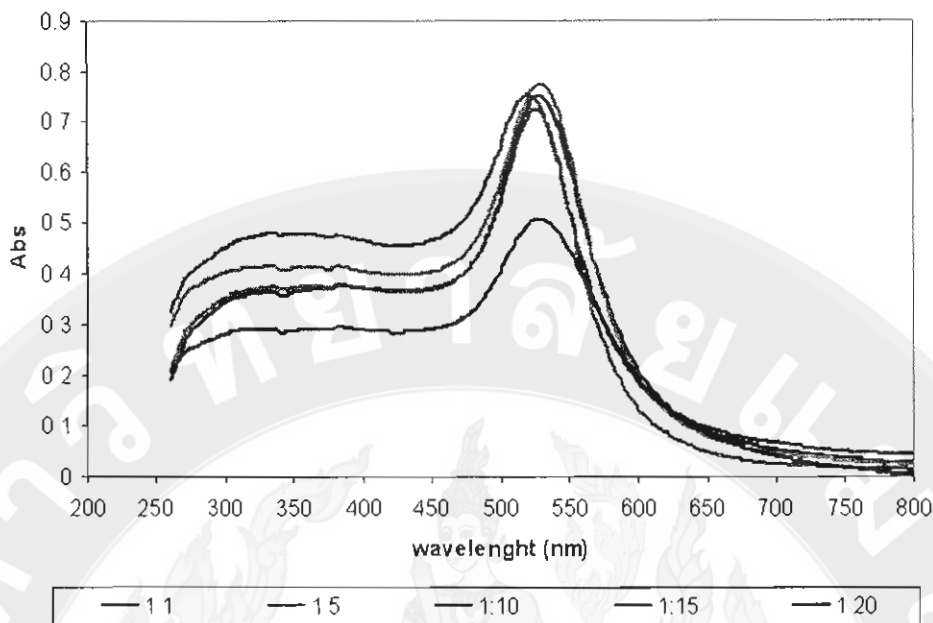
สารละลายทองนาโนที่ให้ความร้อนเป็นเวลา 8 นาทีในอัตราส่วนของทองคลอไรด์ : ไตรโซเดียมซิเตรตที่ 1:1, 1:5, 1:10 และ 1:15 ดังรูปที่ 17ก, 17ข, 17ค และ 17ง ตามลำดับ ให้สารละลายเป็นสีแดงเชอร์รี่ซึ่งเกิดเป็นทองนาโนอย่างสมบูรณ์ ส่วนสารละลายทองนาโนในอัตราส่วนของทองคลอไรด์ : ไตรโซเดียมซิเตรตที่ 1:20 ดังรูปที่ 17จ เป็นสารละลายสีม่วงเข้มซึ่งเกิดเป็นทองนาโนไม่สมบูรณ์ ซึ่งผลการทดลองนี้พบว่าสารละลายทองนาโนนี้มีสีใกล้เคียงกัน ดังรูปที่ 17 อาจเนื่องมาจากเวลาที่ให้ความร้อนมากขึ้นทำให้เกิดปฏิกิริยาได้สมบูรณ์ขึ้น โดยทองนาโนที่อัตราส่วนของทองคลอไรด์ : ไตรโซเดียมซิเตรตเป็น 1:5 ให้ค่าการดูดกลืนแสงสูงสุด ดังนั้นเวลาจึงมีผลต่อการสังเคราะห์ทองนาโน ถ้าใช้เวลาในการให้ความร้อนนานอัตราส่วนของทองคลอไรด์ : ไตรโซเดียมซิเตรตในปริมาณน้อยก็สามารถลดทำให้เกิดเป็นทองนาโนได้แต่ถ้าใช้เวลาในการ

ให้ความร้อนเร็วๆ ต้องเพิ่มปริมาณของอัตราส่วนของทองคลอไรด์ : ไดรโซเดียมซิเตรตตามที่เขียนจึงจะเกิดเป็นทองขนาดนาโน



รูปที่ 17 ยูวีスペกตรัมของทองนาโนที่สังเคราะห์ด้วยอัตราส่วนของทองคลอไรด์ : ไดรโซเดียมซิเตรตที่ 1:1, 1:5, 1:10, 1:15 และ 1:20 โดยให้ความร้อนโดยเครื่องไมโครเวฟเป็นเวลา 8 นาที

จากนั้นนำสารละลายนาโนที่ให้ความร้อนเป็นเวลา 8 นาทีในอัตราส่วนของทองคลอไรด์ : ไดรโซเดียมซิเตรตที่ 1:1, 1:5, 1:10, 1:15 และ 1:20 ไปวัดค่าดูดกลืนแสงด้วยยูวีวิสิเบิลสเปกโตรโฟโตมิเตอร์พบว่าสารละลายนาโนมีพิคของการดูดกลืนแสงในช่วง 520 ถึง 530 นาโนเมตร และพบว่าการให้ความร้อนตอนสุดท้ายที่เวลา 2 นาที อัตราส่วนของทองคลอไรด์ : ไดรโซเดียมซิเตรตที่ 1:20 ให้ค่าการดูดกลืนแสงต่ำที่สุด ( $Abs=0.508$ ) และที่อัตราส่วน 1:5 ให้ค่าการดูดกลืนแสงสูงที่สุด ( $Abs=0.776$ ) ส่วนที่อัตราส่วน 1:1, 1:10 และ 1:15 มีค่าการดูดกลืนแสง 0.752, 0.754 และ 0.723 ตามลำดับ ดังรูปที่ 18

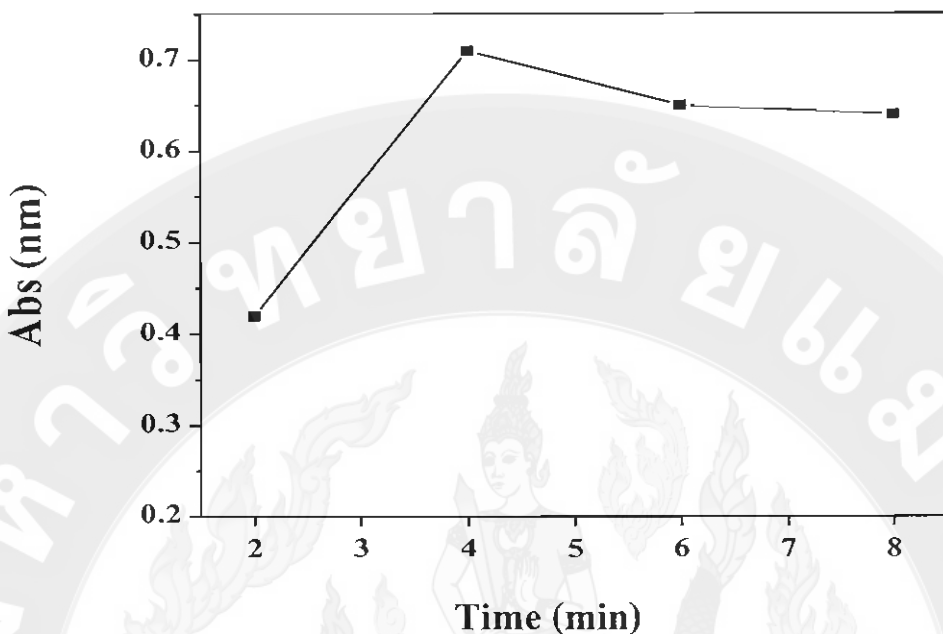


รูปที่ 18 บูรณาการของ NaNO<sub>2</sub> ที่สังเคราะห์ด้วยอัตราส่วนของ HClO ไดร์ : ไครโซเดียมซิเตอตเป็น 1:1, 1:5, 1:10, 1:15 และ 1:20 โดยให้ความร้อนโดยเครื่องไมโครเวฟเป็นเวลา 8 นาที

#### การคุณภาพนิแสง (Abs) กับเวลาในการสังเคราะห์ของ NaNO<sub>2</sub> โดยใช้ HClO ไดร์ : ไครโซเดียมซิเตอตในอัตราส่วนโมล 1:10

การสังเคราะห์ของที่ใช้อัตราส่วนของ HClO ไดร์ : ไครโซเดียมซิเตอตที่อัตราส่วนโมลเป็น 1:10 ที่ให้ความร้อนในตอนสุดท้ายเป็นเวลา 4 นาที ให้ค่าการคุณภาพนิแสงสูงมากที่สุดเมื่อเปรียบเทียบกับอัตราส่วน 1:1, 1:5, 1:15 และ 1:20 ใน การทดลองต่อมาจึงได้นำ NaNO<sub>2</sub> ที่ได้ในอัตราส่วน 1:10 มาทดลองต่อโดยเพิ่มเวลาของ การให้ความร้อนจาก 2 นาที ถึง 10 นาที แล้วนำไปวัดค่าการคุณภาพนิแสงที่ความยาวคลื่น 520 นาโนเมตร จากนั้นหาความสูงของพีกแล้วนำไปพลอตกราฟระหว่างเวลา กับค่าความสูงของพีกที่ได้จะได้ผลการทดลองดังรูปที่ 19

จากการทดลองพบว่าเวลาต่ำสุดที่ 2 นาที ปฏิกิริยาที่เกิดขึ้นยังไม่สมบูรณ์ ( $Abs=0.433$ ) ส่วนที่เวลา 4 นาที ให้ค่าความสูงของพีกมากที่สุด ( $Abs=0.702$ ) เนื่องจากที่เวลา 4 นาทีทำให้เกิดเป็นของ NaNO<sub>3</sub> และมีค่าการคุณภาพนิแสงมากที่สุดรวมทั้งเกิดปฏิกิริยาอย่างสมบูรณ์ และที่เวลา 6 นาที และ 8 นาที มีค่าความสูงของพีกเริ่มลดลงเล็กน้อย เนื่องจากปฏิกิริยาเกิดขึ้นอย่างสมบูรณ์แล้วที่ 4 นาที ทำให้การเพิ่มเวลาให้ความร้อนมากขึ้นไม่ได้ทำให้จำนวนอนุภาคของ NaNO<sub>3</sub> มากขึ้น

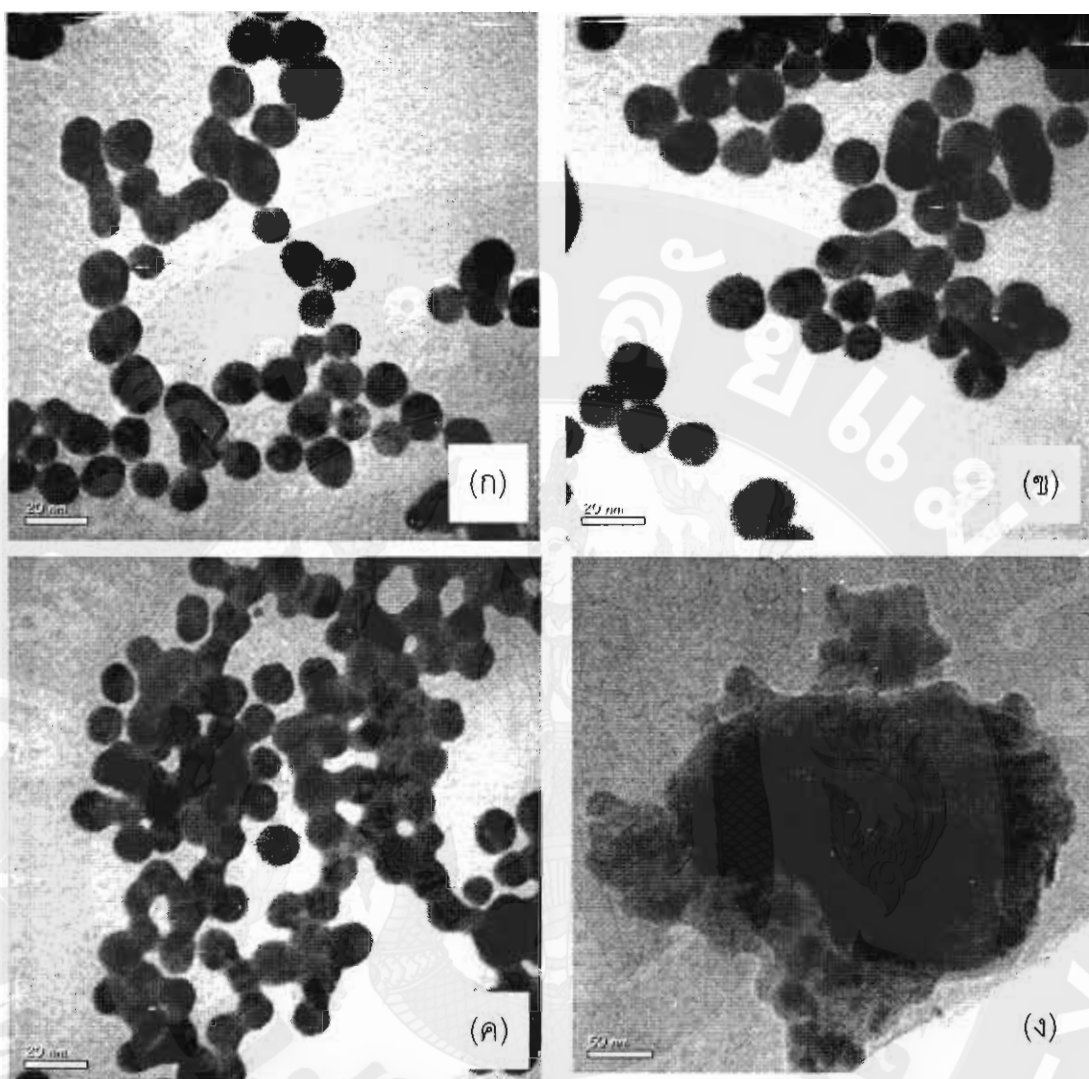


รูปที่ 19 กราฟความสัมพันธ์ระหว่างความสูงของพีคกับเวลาในการสังเคราะห์ทองนาคนาโนโดยใช้ทองคลอไรด์ : ไตรโซเดียมซิเตรตในอัตราส่วน โนมล 1:10

จากการทดลองทองนาคนาโนทั้งหมดพบว่าทองนาคนาโนที่ให้ความร้อนครั้งสุดท้ายที่เวลา 4 นาที ที่อัตราส่วนของทองคลอไรด์ : ไตรโซเดียมซิเตรตที่ 1:10 ให้ค่าการดูดกลืนแสงสูงที่สุด และการดูดกลืนแสงใกล้เคียงกับ 520 นาโนเมตร ซึ่งเป็นพีคเฉพาะของทองนาคนาโนและสอดคล้องกับผลของ Tangkuaram [(Tangkuaram *et al.*, 2007)] และสารละลายน้ำทองนาคนาโนที่ได้ก็เป็นสีแดงเชอร์รี่ ตั้งนั้นจึงเลือกมาปรับปรุงอิเล็กโทรด

#### ผลการวัดขนาดอนุภาคนาโนทองคำด้วยกล้องจุลทรรศน์อิเล็กตรอนแบบส่องผ่าน

การนำทองอนุภาคนาโนที่สังเคราะห์ไปศึกษานาดตัวยกล้องจุลทรรศน์แบบส่องผ่าน โดยนำอนุภาคนาโนทองคำที่สังเคราะห์ที่อัตราส่วน 1 : 10 ของทองคลอไรด์ต่อไตรโซเดียมซิเตรต โดยใช้เวลาการสังเคราะห์ดังเดิ่งแต่ 2 – 10 นาที พนว่าได้ผลจากกล้องกล้องจุลทรรศน์แบบส่องผ่าน ดังรูปที่ 20 ก- ง โดยพบว่า อนุภาคนาโนทองคำมีขนาดเป็นทรงกลม (รูปที่ 20 ก-ค) ส่วนที่เวลา 10 นาที ไม่สามารถหาขนาดได้ (รูปที่ 20 ง) ขนาดของอนุภาคนาโนมีขนาด 16 นาโนเมตร (รูปที่ 20 ข)

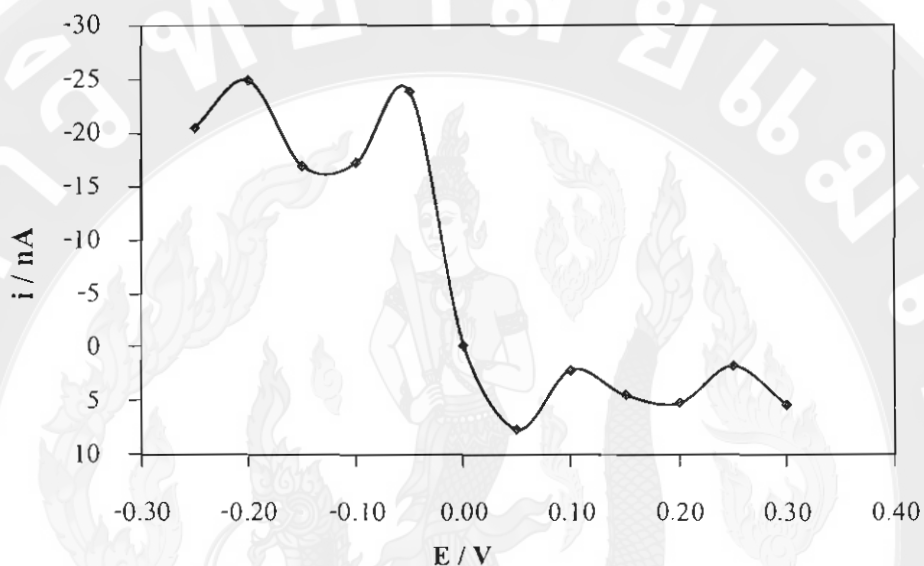


รูปที่ 20 อนุภาคนาโนทองคำจากกล้องจุลทรรศน์แบบส่องผ่าน ที่อัตราส่วนการสังเคราะห์ ทองคลอร์ไครด์ต่อไตรโซเดียมซิเตറท 1 : 10 โดย ทำที่สภาวะการให้ความร้อน (ก) 2 นาที (ข) 4 นาที (ค) 6 นาที และ (ง) 10 นาที กล้องจุลทรรศน์แบบส่องผ่านใช้กำลังไฟฟ้า 75 kV และกำลังขยาย 200,000 เท่า

#### ผลของศักย์ไฟฟ้าในการเกิดปฏิกิริยาออกซิเดชันของไฮโดรเจนเปอร์ออกไซด์

นำเอนไซม์กลูโคสออกซิเดตสมาระประกอบตระหง่านข้าไฟฟ้าพิมพ์สกรีน ที่ตึงด้วยสารตัวกลาง (mediator) คือ ปรัสเซียนบลู (prussain blue) และใช้ไฮโดรเจนทำหน้าที่เป็นสารที่กักขังไว้ไม่ให้เอนไซม์หลุดออกໄไป และทำการศึกษาตัวแปรที่ส่งผลต่อสัญญาณที่ได้คือผลของศักย์ไฟฟ้าที่ใช้ในเกิดปฏิกิริยา (Operation applied potential) โดยทดสอบในสารละลายนอกกลูโคสเข้มข้น 10 mM ได้ผลดังรูปที่ 21 ซึ่งพบว่าศักย์ไฟฟ้าที่ -0.25 V จนกระทั่งถึงศักย์ไฟฟ้าที่ -0.05 V ให้กระแสไฟฟ้า

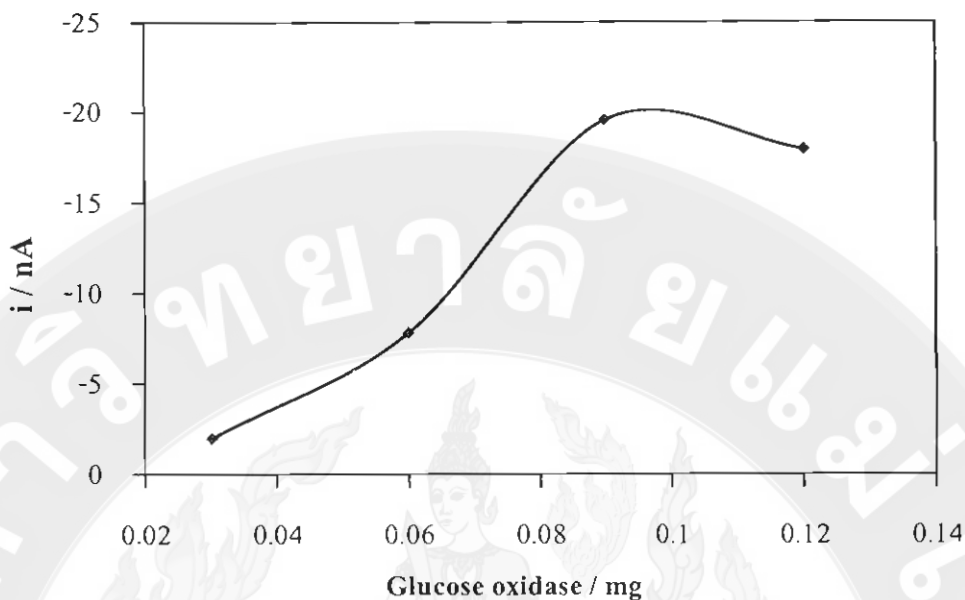
คงที่ ที่ประมาณ -23 nA หลังจากนั้นเมื่อให้ศักย์ไฟฟ้าเพิ่มขึ้นเป็น 0.0 V พนว่ากระแสลดลงอย่างรวดเร็วจนคงที่ (คิดเฉพาะamplitude) ที่ศักย์ไฟฟ้า 0.05 V ได้กระแสไฟฟ้า +8 nA และกระแสคงที่ถึงแม้ว่าจะเพิ่มศักย์ไฟฟ้าขึ้นอีกก็ไม่ทำให้ได้กระแสที่สูงขึ้นเนื่องจากถึงสภาวะคงที่ (steady state) ของการเร่งปฏิกิริยาของปรัศตเซียนบลูต้อไซโตรเจนเปอร์ออกไซด์ ผลนี้สอดคล้องกับรายงานการวิจัยของ Karyakin [2] ดังนั้นจึงเลือกศักย์ไฟฟ้าที่ -0.05 V เป็นศักย์ไฟฟ้าที่ใช้งานดีไป



รูปที่ 21 กราฟความสัมพันธ์ระหว่างผลของศักย์ไฟฟ้าที่ใช้ในการเกิดปฏิกิริยาของกลูโคสในโอเซนเซอร์กับปริมาณกระแสไฟฟ้าที่เกิดขึ้น

#### การทำนายตัวแปรปริมาณของกลูโคสออกซิเดส

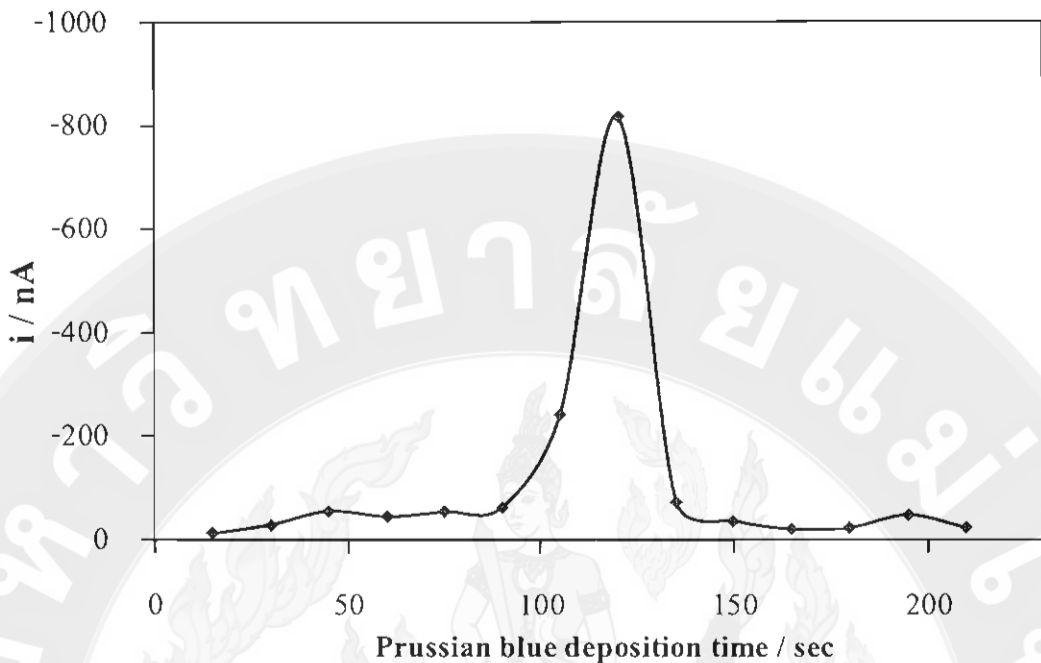
ทำการศึกษาหาปริมาณของเอนไซม์กลูโคสออกซิเดสโดยนำเอนไซม์ดังกล่าวไปตรึงบนกลูโคสในโอเซนเซอร์ที่ปริมาณต่างๆ กันคือ 0.03 mg, 0.06 mg, 0.09 mg และ 0.12 mg และนำไปวัดปริมาณกลูโคสที่ความเข้มข้น 10 mM หลังจากนั้นจึงนำกระแสที่ได้มาวัดกราฟกับความเข้มข้นได้ผลดังรูปที่ 22 ซึ่งพบว่าเมื่อปริมาณเอนไซม์กลูโคสออกซิเดส 0.03 mg พนว่า ให้กระแสเพียง 2 nA หลังจากเพิ่มปริมาณของกลูโคสออกซิเดสมากขึ้น จะได้กระแสมากขึ้น จนกระทั่งได้กระแสสูงที่สุดเมื่อใช้เอนไซม์ 0.09 mg หลังจากนั้นกระแสเริ่มคงที่ ในการเลือกใช้เอนไซม์ จึงเลือกใช้ 0.09 mg ในการทดลองดีไป



รูปที่ 22 ความสัมพันธ์ระหว่างปริมาณเอนไซม์กูลูโคสออกซิเดสกับปริมาณไฟฟ้าที่วัดได้ โดยใช้ สภาวะการทดลองเป็น 5 mM glucose, 0.1 M phosphate pH 7.4, หักปีไฟฟ้า -0.10 V

#### ศึกษาผลของเวลาในการตรึงปรัสรเชียนบลู

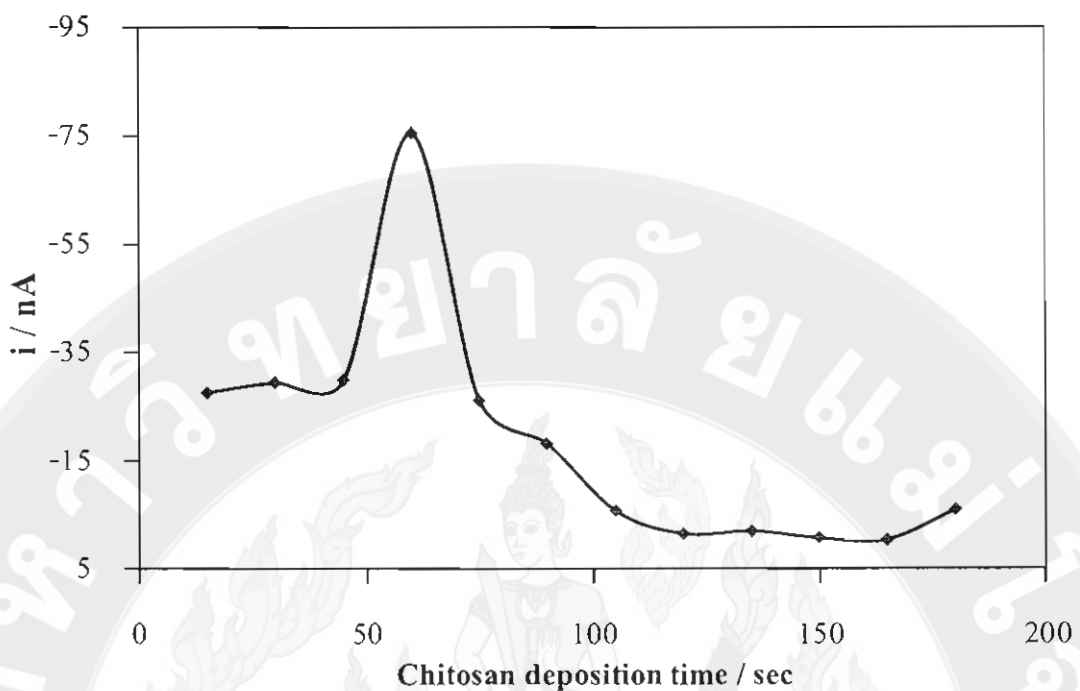
การนำปรัสรเชียนบลู (Prussian blue) เพื่อตรึงร่วมกับเอนไซม์กูลูโคสออกซิเดส โดยทำการตรึงด้วยวิธีการเกาดิตด้วยไฟฟ้า โดยใช้เวลาของการเกาดิตค่างๆ กัน ดังแต่ 10 ถึง 210 วินาที เมื่อนำกระแทกที่ได้มานาคgraf กับเวลาที่ใช้ในการเกาดิต ได้ผลดังรูปที่ 23 จากรูปพบว่าที่เวลาของการเกาดิต 10 ถึง 100 วินาที ได้กระแสเพียง 10-50 nA แต่เมื่อใช้เวลาเพิ่มขึ้นเป็น 115 วินาที ได้กระแสสูงขึ้นเป็น 200 nA หลังจากนั้นกระแสจะค่อยๆ ลดลง สำหรับสาเหตุที่ทำให้กระแสลดลง เป็นเพราะฟิล์มปรัสรเชียนบลูเมื่อมีความหนามากขึ้นความต้านทานไฟฟ้าจะมากขึ้น ทำให้การส่งผ่านอิเล็กตรอนจากขั้นไฟฟ้าไปยังสารละลายทำได้ยากขึ้น กระแสไฟฟ้าจึงลดลง ดังนั้นจึงเลือกใช้เวลาของ การตรึงฟิล์มปรัสรเชียนบลูเป็น 115 วินาที



รูปที่ 23 ความสัมพันธ์ระหว่างเวลาที่ใช้ในการครึ่งฟิล์มปรัสเซียนบลูกับปริมาณไฟฟ้าที่วัดได้ โดยใช้สภาวะการทดลองเป็น 5 mM glucose, 0.1 M phosphate pH 7.4, ศักยไฟฟ้า -0.10 V, ปริมาณของเอนไซม์กลูโคสออกซิเดส 0.09 มิลลิกรัม

#### ศึกษาผลของการเปลี่ยนเวลาในการครึ่งไคโตซาน

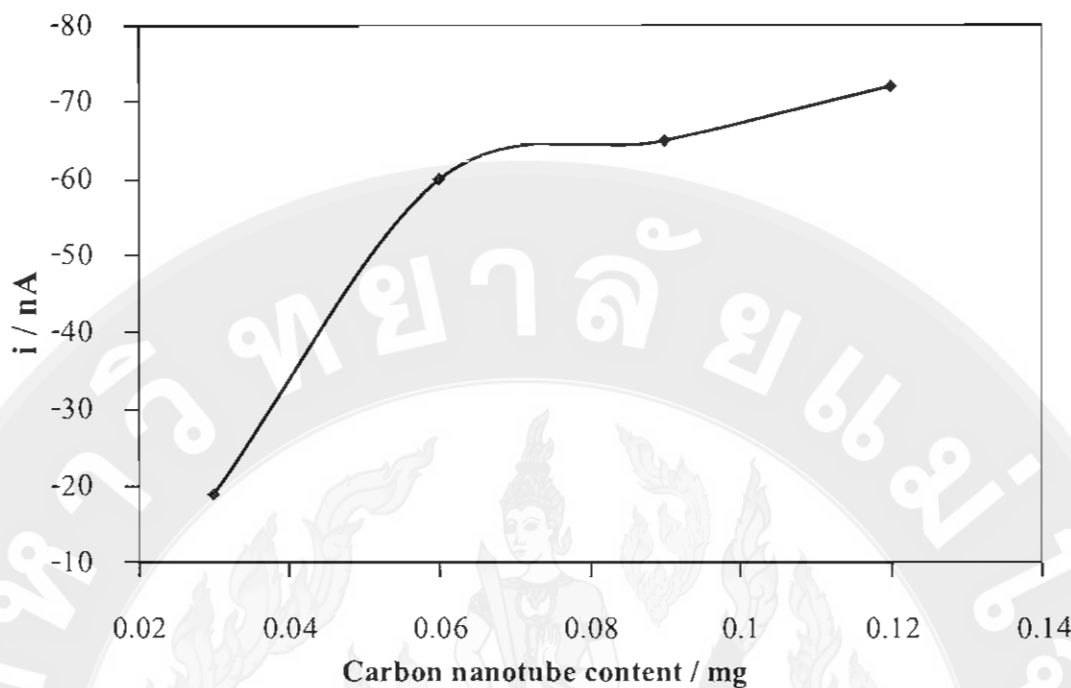
การใช้ไคโตซาน (Chitosan) เพื่อตัวเรืองร่วมกับเอนไซม์กลูโคสออกซิเดสและปรัสเซียนบลู โดยทำการครึ่งไคโตซานด้วยวิธีการเกาด์ดับบล์ไฟฟ้า โดยกำหนดเวลาตั้งแต่ 15 ถึง 180 วินาที โดยกำหนดช่วงห่าง 15 วินาที นำข้าวไปทดสอบในสารละลายกลูโคสแล้วนำกระแสที่ได้มากราฟกับเวลาที่ใช้ในการเกาด์ดับบล์ ได้ผลดังรูปที่ 24 จากรูปพบว่าที่เวลาที่ใช้ในการเกาด์ดับบล์ 15 ถึง 45 วินาที ได้กระแสเพียงเล็กน้อยเพียงประมาณ 30 nA แต่เมื่อใช้เวลาเพิ่มขึ้นเป็น 60 วินาที ได้กระแสสูงขึ้นเป็น 75 nA หลังจากนั้นเมื่อเวลาของการเกาด์ดับบล์ไคโตซานมากขึ้น กลับได้กระแสต่ำลง กระแสที่คั่ลลงเป็นเพระฟิล์มไคโตซานมีสภาพไม่นำไฟฟ้าและการที่ฟิล์มหนาขึ้นทำให้เอนไซม์อยู่ห่างจากผิวน้ำข้าวไฟฟ้ามากขึ้น กระแสจึงต่ำลง ดังนั้นจึงเลือกใช้เวลาของการครึ่งไคโตซานที่ 60 วินาที



รูปที่ 24 ความสัมพันธ์ระหว่างเวลาที่ใช้ในการตรึงฟิล์มไคโตไซานกับปริมาณไฟฟ้าที่วัดได้ โดยใช้สภาวะการทดลองเป็น 5 mM glucose, 0.1 M phosphate pH 7.4, ศักย์ไฟฟ้า -0.10 V, ปริมาณของเอนไซม์กลูโคสออกซิเดส 0.09 มิลลิกรัม เวลาของการตรึงปรั้งสีเขียนบลู 115 วินาที

#### ผลของปริมาณคาร์บอนนาโนทิวบ์

การใช้คาร์บอนนาโนทิวบ์ (Carbon nanotube) เพื่อตรึงร่วมกับเอนไซม์กลูโคสออกซิเดส/ปรั้งสีเขียนบลู/ไคโตไซาน โดยใช้คาร์บอนนาโนทิวบ์ที่ปริมาณ 0.03, 0.06, 0.09 และ 0.12 mg นำเข้าไปทดสอบในสารละลายน้ำกลูโคส แล้วนำกระแทกที่ได้มามาดกราฟกับเวลาที่ใช้ในการเก็บดิจิตอลดังรูปที่ 25



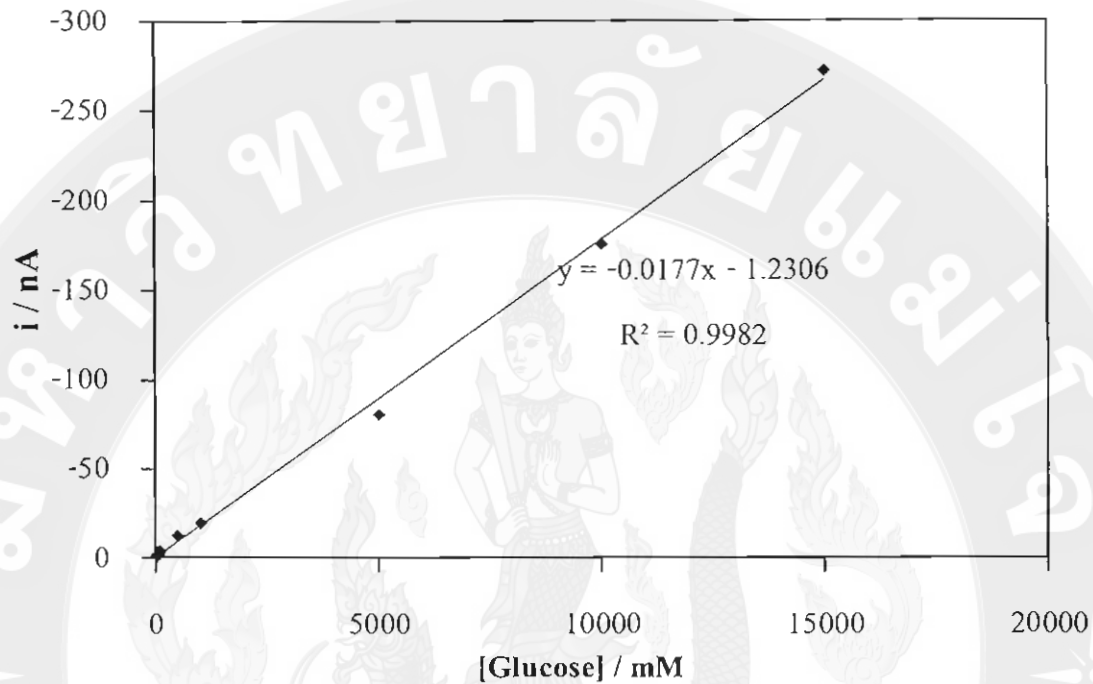
รูปที่ 25 ความสัมพันธ์ระหว่างปริมาณของการบอนนาโนทิวบ์กับกระแสไฟฟ้าที่ได้โดยใช้สภาวะการทดลองเป็น 5 mM glucose, 0.1 M phosphate pH 7.4, ศักย์ไฟฟ้า -0.10 V, ปริมาณของเอนไซม์กลูโคสออกซิเดส 0.09 มิลลิกรัม เวลาของ การตรึงปรัสรีบวนถุ 115 วินาที เวลาของการตรึงไคโตกาน 60 วินาที

จากรูปพบว่าปริมาณของการบอนนาโนทิวบ์ที่ 0.03 มิลลิกรัม ได้กระแสเพียง 18 nA เมื่อเพิ่มปริมาณของการบอนนาโนทิวบ์ขึ้นเป็น 0.06 มิลลิกรัม ได้กระแสสูงขึ้นเป็น 60 มิลลิแอมเปอร์ หลังจากนั้นเมื่อเมื่อเพิ่มปริมาณของการบอนนาโนทิวบ์อีกเป็น 0.09 และ 0.12 มิลลิกรัม กระแสที่ได้สูงขึ้นอีกเพียง 5 – 11 มิลลิแอมเปอร์ ซึ่งแสดงถึงจุดอิ่มตัวของการใช้การบอนนาโนทิวบ์ที่เมื่อใช้การบอนนาโนทิวบ์มากขึ้น ค่าการนำไฟฟ้าจะต่ำลง ทำให้การส่งผ่านอิเล็กตรอนยากขึ้น จึงได้กระแสเพิ่มขึ้นเพียงเล็กน้อย ดังนั้นจึงเลือกใช้การบอนนาโนทิวบ์ที่ 0.09 มิลลิกรัม ไปใช้ในการทดลองต่อไป

#### การหาช่วงความเป็นเส้นตรง ขีดจำกัดการตรวจวัดและค่าการทำข้า

การทดสอบประสิทธิภาพของกลูโคสในโอเซนเซอร์ (SPCE/CHIT-CNT/PB/AuNP/GOx) โดยให้ศักย์ไฟฟ้าที่ -0.05 V พบร่วมกับกระแสไฟฟ้าที่ได้จากปฏิกิริยาเป็นปฏิกิริยาโดยตรงกับความเข้มข้นของกลูโคสที่ฉีดลงไป การหาลักษณะเฉพาะของกลูโคสในโอเซนเซอร์ที่พัฒนาขึ้น คือช่วงที่เป็นเส้นตรง ได้ผลดังรูปที่ 26 ซึ่งพบว่ามีช่วงที่เป็นเส้นตรงในช่วง 20 ไมโครไมลาร์ ถึง 15 มิลลิไมลาร์

( $y = -0.0177 \text{ nA mM}^{-1} - 1.2309$ ,  $R^2 = 0.9973$ ) และความเข้มข้นต่ำสุดที่สามารถตรวจวัดกลูโคสอยู่ที่ 15.56 ไมโครโมลาร์ ( $S/N = 3$ ) เช่นเชอร์นีมีค่าการทำซ้ำที่ 3.5% RSD



รูปที่ 26 กราฟเทียบมาตรฐานระหว่างกระแสไฟฟ้ากับความเข้มข้นของกลูโคสโดยใช้กลูโคสไบโอลูเซนเซอร์ SPCE/CHIT-CNT/PB/AuNP/GOx โดยใช้สภาพแวดล้อมเครื่องมือดังนี้  $E_{\text{applied}} = -0.05$  โวลท์, 0.1 โมลาร์ phosphate buffer pH 7.4, CNT = 0.009 มิลลิกรัม, เวลาของการครึ่งไกโตกาชาน 60 วินาที, เวลาของการตรึงปรัสรีเซ็นบลู 105 วินาที, และปริมาณของกลูโคสออกซิเดส 0.09 มิลลิกรัม

#### การทดสอบหาปริมาณกลูโคสในตัวอย่างน้ำผึ้ง

นำกลูโคสไบโอลูเซนเซอร์ (SPCE/CHIT-CNT/PB/AuNP/GOx) ไปทดสอบในตัวอย่างน้ำผึ้ง 6 ชนิด ตัวอย่างน้ำผึ้งทั้ง 6 ชนิดตั้งก่อตัว ไม่ต้องทำการเตรียมตัวอย่าง และแต่ละยีห้อใช้น้ำผึ้งปริมาณน้อยเพียงยีห้อละ 100 ไมโครลิตร ในแต่ละตัวอย่างใช้เวลาในการทดสอบตัวอย่างละ 1 นาที ผลการทดสอบพบว่ามีกลูโคสในตัวอย่างน้ำผึ้งอยู่ในช่วง 54 – 4053 ไมโครเมตร ดังตารางที่ 6 จากตารางแสดงให้เห็นว่า SPCE/CHIT-CNT/PB/AuNP/GOx ที่พัฒนาขึ้นสามารถนำไปทดสอบกลูโคสในน้ำผึ้งได้จริง

ตารางที่ 6 ตัวอย่างน้ำผึ้งยี่ห้อต่างๆ และความเข้มข้นที่ตรวจพบโดยใช้กลูโคสในโอเซนเซอร์ที่พัฒนาขึ้น

ยี่ห้อ	ความเข้มข้นของกลูโคสที่ตรวจวัด โดยใช้ในโอเซนเซอร์ / ไมโคร โมลาร์
Vejpong	54.47
Ambrosia	467.37
Songpung	295.43
Erawan	769.33
Chula	273.32
Sabsau	4053.33

## สรุปผลการวิจัย

การสร้างกัลโตกส์ไบโอดีเซอร์ ด้วยกัลโตกส์ออกซิเดส-การ์บอนนาโนทิวบ์คอมโพสิตกับปรสต เชื่ยนบลู-ไคโடาน-ทองนาโน บนข้าไฟฟ้าพินพ์สกรีน (SPCE/CHIT-CNT/PB/AuNP/GOx) ทิวบ์ เมื่อทำการทดสอบด้วยเทคนิคไซคลิกโอลเทมเมตร พบร่องกัลโตกส์ไบโอดีเซอร์ SPCE/CHIT-CNT/PB/AuNP/GOx ให้สัญญาณสูงที่สุดในการตรวจวัดกัลโตกส์เมื่อใช้ศักย์ไฟฟ้า ( $E_{\text{applied}}$ ) ที่ -0.05 V ใช้ปริมาณของกัลโตกส์ออกซิเดส 0.09 มิลลิกรัม เวลาของการตรึงไคโດาน 60 วินาที เวลาของการตรึงปรัสเซียนบลู 105 วินาที กัลโตกส์ไบโอดีเซอร์นี้มีช่วงเป็นเส้นตรงในช่วง 20 ° ในครโนลาร์ ถึง 15 ° มิลลิโนลาร์ มีค่าขีดจำกัดการตรวจวัดกัลโตกส์ที่ 15.56 ° ในครโนลาร์ ไบโอดีเซอร์ที่พัฒนาขึ้นสามารถนำไปตรวจวัดปริมาณกัลโตกส์ในตัวอย่างน้ำผึ้งได้ โดยพบว่าในตัวอย่างน้ำผึ้งที่สุ่มน้ำจากห้องคลาต 6 ชนิด มีปริมาณกัลโตกส์อยู่ในช่วง 54 – 4053 ° ในครโนลาร์

### เอกสารอ้างอิง

- Cavia, M. M., M. A. Fernández-Muiño, E. Gömez-Alonso, M. J. Montes-Pérez, J. F. Huidobro and M. T. Sancho. 2002. Evolution of fructose and glucose in honey over one year: influence of induced granulation. **Food Chem.** 78 (2): 157-161.
- Chen, X., J. Chen, C. Deng, C. Xiao, Y. Yang, Z. Nie and S. Yao. 2008. Amperometric glucose biosensor based on boron-doped carbon nanotubes modified electrode. **Talanta.** 76 (4): 763-767.
- Crespilho, F. N., M. E. Ghica, C. Gouveia-Caridade, O. N. Oliveira Jr and C. M. A. Brett. 2008. Enzyme immobilisation on electroactive nanostructured membranes (ENM): Optimised architectures for biosensing. **Talanta.** 76 (4): 922-928.
- Gogotsi, Y. 2006. **Nanotubes and nanofibers.** Taylor and Francis Group, LLC.: Boca Raton (FL). 1-107.
- Han, H., Y. Li, H. Yue, Z. Zhou, D. Xiao and M. M. F. Choi. 2008. Clinical determination of glucose in human serum by a tomato skin biosensor. **Clin. Chim. Acta.** 395 (1-2): 155-158.
- Huang, J., Y. Yang, H. Shi, Z. Song, Z. Zhao, J.-i. Anzai, T. Osa and Q. Chen. 2006. Multi-walled carbon nanotubes-based glucose biosensor prepared by a layer-by-layer technique. **Mater. Sci. Eng., C.** 26 (1): 113-117.
- Ioannidou, M. D., G. A. Zachariadis, A. N. Anthemidis and J. A. Stratis. 2005. Direct determination of toxic trace metals in honey and sugars using inductively coupled plasma atomic emission spectrometry. **Talanta.** 65 (1): 92-97.
- Kang, X., Z. Mai, X. Zou, P. Cai and J. Mo. 2008. Glucose biosensors based on platinum nanoparticles-deposited carbon nanotubes in sol-gel chitosan/silica hybrid. **Talanta.** 74 (4): 879-886.
- Kissinger, P. T. 2005. Biosensors--a perspective. **Biosens. Bioelectron.** 20 (12): 2512-2516.
- Lacourse, W. R. 1997. **Pulsed electrochemical detection in high-performance liquid chromatography.** John Wiley & Sons, Inc.: New York (NY). 60-61.

- Lim, S. H., J. Wei, J. Lin, Q. Li and J. KuaYou. 2005. A glucose biosensor based on electrodeposition of palladium nanoparticles and glucose oxidase onto Nafion-solubilized carbon nanotube electrode. **Biosens. Bioelectron.** 20 (11): 2341-2346.
- Liu, G. and Y. Lin. 2006. Amperometric glucose biosensor based on self-assembling glucose oxidase on carbon nanotubes. **Electrochim. Commun.** 8 (2): 251-256.
- Liu, Y., M. Wang, F. Zhao, Z. Xu and S. Dong. 2005. The direct electron transfer of glucose oxidase and glucose biosensor based on carbon nanotubes/chitosan matrix. **Biosens. Bioelectron.** 21 (6): 984-988.
- Luong, J. H. T., K. B. Male and J. D. Glennon. 2008. Biosensor technology: Technology push versus market pull. **Biotechnol. Adv.** 26 (5): 492-500.
- Musameh, M. M., R. T. Kachoosangi, L. Xiao, A. Russell and R. G. Compton. 2008. Ionic liquid-carbon composite glucose biosensor. **Biosens. Bioelectron.** 24 (1): 87-92.
- Olea, D., O. Viratelle and C. Faure. 2008. Polypyrrole-glucose oxidase biosensor: Effect of enzyme encapsulation in multilamellar vesicles on analytical properties. **Biosens. Bioelectron.** 23 (6): 788-794.
- Rao, C. N. R., A. Govindaraj, G. Gundiah and S. R. C. Vivekchand. 2004. Nanotubes and nanowires. **Chem. Eng. Sci.** 59 (22-23): 4665-4671.
- Rivas, G. A., S. A. Mischoria, J. Desbrieres and G. D. Barrera. 2007. New biosensing platforms based on the layer-by-layer self-assembling of polyelectrolytes on Nafion/carbon nanotubes-coated glassy carbon electrodes. **Talanta.** 71 (1): 270-275.
- Rubianes, M. D. and G. A. Rivas. 2003. Carbon nanotubes paste electrode. **Electrochim. Commun.** 5 (8): 689-694.
- Salimi, A., R. G. Compton and R. Hallaj. 2004. Glucose biosensor prepared by glucose oxidase encapsulated sol-gel and carbon-nanotube-modified basal plane pyrolytic graphite electrode. **Anal. Biochem.** 333 (1): 49-56.
- Settle, F. 1997. **Handbook of instrumental techniques for analytical chemistry.** Prentice Hall PTR: Upper Saddle River (NJ). 685-690.
- Sun, Y., H. Wang and C. Sun. 2008. Amperometric glucose biosensor based on layer-by-layer covalent attachment of MWNTs and  $\text{IO}_4^-$ -oxidized GOx. **Biosens. Bioelectron.** 24 (1): 22-28.

- Tang, H., J. Chen, S. Yao, L. Nie, G. Deng and Y. Kuang. 2004. Amperometric glucose biosensor based on adsorption of glucose oxidase at platinum nanoparticle-modified carbon nanotube electrode. *Anal. Biochem.* 331 (1): 89-97.
- Tangkuaram, T., C. Ponchio, T. Kangkasomboon, P. Katikawong and W. Veerasai. 2007. Design and development of a highly stable hydrogen peroxide biosensor on screen printed carbon electrode based on horseradish peroxidase bound with gold nanoparticles in the matrix of chitosan. *Biosens. Bioelectron.* 22 (9-10): 2071-2078.
- Wang, J. 2006. *Analytical electrochemistry*. John Wiley & Sons: Hoboken (NJ). 80-82.
- Wang, J. and M. Musameh. 2003. Carbon Nanotube/Teflon Composite Electrochemical Sensors and Biosensors. *Anal. Chem.* 75 (9): 2075-2079.
- Wang, J. and M. Musameh. 2005. Carbon-nanotubes doped polypyrrole glucose biosensor. *Anal. Chim. Acta*. 539 (1-2): 209-213.
- Wang, S. G., Q. Zhang, R. Wang, S. F. Yoon, J. Ahn, D. J. Yang, J. Z. Tian, J. Q. Li and Q. Zhou. 2003. Multi-walled carbon nanotubes for the immobilization of enzyme in glucose biosensors. *Electrochem. Commun.* 5 (9): 800-803.
- Wikipedia. (2012). ໜ້າຜົງ. Retrieved 15 ມີນາດຸ 2554, from <http://th.wikipedia.org/wiki/ໜ້າຜົງ>.
- Yang, M., Y. Yang, Y. Liu, G. Shen and R. Yu. 2006. Platinum nanoparticles-doped sol-gel/carbon nanotubes composite electrochemical sensors and biosensors. *Biosens. Bioelectron.* 21 (7): 1125-1131.
- Yu, J., D. Yu, T. Zhao and B. Zeng. 2008. Development of amperometric glucose biosensor through immobilizing enzyme in a Pt nanoparticles/mesoporous carbon matrix. *Talanta*. 74 (5): 1586-1591.
- Zuo, S., Y. Teng, H. Yuan and M. Lan. 2008. Direct electrochemistry of glucose oxidase on screen-printed electrodes through one-step enzyme immobilization process with silica sol-gel/polyvinyl alcohol hybrid film. *Sensors and Actuators B: Chemical*. 133 (2): 555-560.